



*Школа профессора В.Макац (Украина).*  
**ФУНКЦИОНАЛЬНАЯ ВЕГЕТОЛОГИЯ  
КАК РАЗДЕЛ СОВРЕМЕННОЙ МЕДИЦИНЫ**

*School of professor V.Makats (Ukraine).*  
**FUNCTIONAL VEGETOLOGY  
AS A DIVISION OF CONTEMPORARY MEDICINE**

## **ТЕОРЕТИЧЕСКИЕ И ПРАКТИЧЕСКИЕ ОШИБКИ ТРАДИЦИОННОЙ ЧЖЕНЬ-ЦЗЮ ТЕРАПИИ**

### **THEORETICAL AND PRACTICAL MISTAKES OF TRADITIONAL ZHENJIU THERAPY**

Без весомых аргументов критиковать наших китайских Учителей и вековые положения Восточной Чжень-цзю терапии рискованно. Но экспериментальные данные заставляют поднять проблему, тем больше, что "Рефлексотерапия (акупунктура)" официально признана медицинской профессией, введена в учебные программы и врачи продолжают использовать биофизически необоснованные архаичные знания, правила и методологии.

Дело в том, что разработанная нами функционально-вегетативная диагностика дала возможность не только идентифицировать биофизическую реальность мистических "акупунктурных каналов", но и обнаружить их функциональную взаимозависимость и ряд системных несоответствий. На этой основе мы решили провести полную биофизическую ревизию вековых традиционных положений.

Полученные результаты поражают...

Но давайте по порядку, и начнем с базового традиционного положения китайской Чжень-цзю терапии - ЦИКЛА ЗВЕЗДЫ (концепция У-СИН, теория Пяти элементов). На её основе базируется концепция ЧЖАН-

It is an ungrateful practice to criticize our Chinese Teachers and centuries-long positions of the eastern *Zhenjiu* therapy without reasonable arguments. However, experimental data insist on challenging ancient problem, especially when "Reflexotherapy (acupuncture)" is officially recognized as medical profession, introduced to curriculum, and doctors continue to use archaic knowledge, laws and methodology without biophysical ground.

The point is that, their elaborated functional-vegetative diagnostics gave the opportunity not only to identify biophysical reality of mystical "acupuncture channels", but also to disclose their functional interdependence and a number of systemic contradictions. On this basis, we decided to carry out the revision of traditional positions.

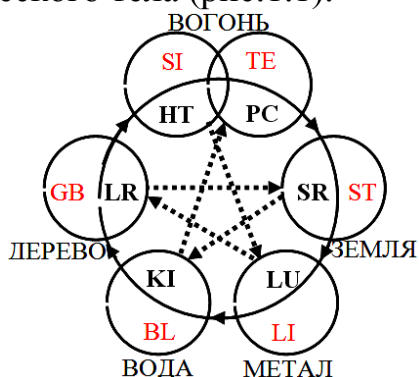
The obtained results are astonishing...

But let us go step by step, and start with the basic traditional position of Chinese *Zhenjiu* therapy – Star Cycle (conception *Wu Xing*, theory of Five elements). Conception *Zhang-fu* (theory of Main organs) is based on it.

**БИОФИЗИЧЕСКАЯ РЕАЛЬНОСТЬ  
ТРАДИЦИОННОЙ КОНЦЕПЦИИ  
"ПЯТЬ ЭЛЕМЕНТОВ ЦИКЛА ЗВЕЗДА"**

**BIOPHYSICAL REALITY OF THE TRA-  
DITIONAL POSITION "FIVE ELE-  
MENTS" (STAR CYCLE)**

Традиционная медицина идентифицировала с каждым элементом теории У-СИН (Огонь-Земля-Металл-Вода-Дерево) конкретные органы человеческого тела (рис.1.1).

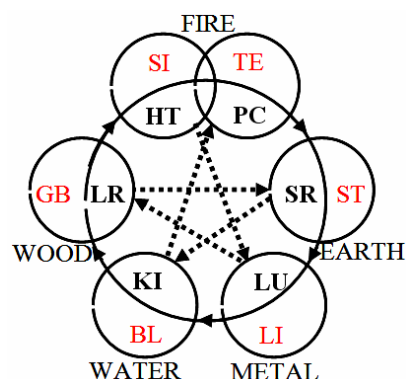


**Рис.1.1** Пять ЭЛЕМЕНТОВ Цикла ЗВЕЗДА. Традиционная зависимость (синхронные  $\longrightarrow$  и асинхронные  $\cdots\longrightarrow$  реакции).

Органы ЧЖАН относятся к системе ЯН. Они полые, предназначены для приёма пищи, всасывания и пищеварения, имеют непосредственный контакт с внешней средой (Толстый кишечник - LI, Желудок - E, Тонкий кишечник - SI, Желчный пузырь - GB и Мочевой пузырь - BL). К этой же группе относится условный орган Лимфатическая система, или тройной обогреватель (TE), который объединяет функции органов грудной, брюшной и тазовой полостей. Все органы (системы) ИНЬ и ЯН взаимосвязаны между собой законами цикла У-СИН.

Органы ФУ относятся к системе ИНЬ, характеризуются плотностью, являются паренхиматозными и накапливают энергию (Легкие - LU, Селезёнка и поджелудочная железа - SP, Сердце - HT, Печень - LR и Почки -

Traditional medicine identified certain organs of human body with every element of the theory *wu xing* (Fire-Earth-Metal-Water-Wood) (fig.1.1).



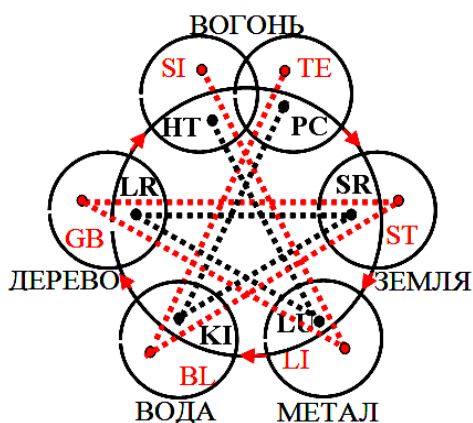
**Fig.1.1** FIVE ELEMENTS of the STAR Cycle. Traditional Dependency (synchronous  $\longrightarrow$  and asynchronous  $\cdots\longrightarrow$  reaction).

*Zang* organs are related to the system *yang*. They are hollow, adapted to receive food, imbibitions and digestion, possess tracts for direct contact with external environment (Large intestine - LI, Stomach - ST, Small intestine - SI, Gall bladder -GB and Urinary bladder - BL). To this group related conventional organ Lymphatic system, or triple energizer (TE), which combines functions of organs of thorax, abdomen and hypogastrium. All organs (systems) *yin* and *yang* are interconnected between each other by the laws of the cycle *wu xing*.

*Fu* organs are related to the system *yin*, are characterized by density, are parenchymatous and accumulate energy (Lungs - LU, Spleen and pancreas - SP, Heart - HT, Liver - LR and Kidneys - KI). To this group related the conven-

KI). К этой группе относится условный орган Перикард (PC), который вместе с сердцем (HT) контролирует кровообращение, дыхание, работоспособность и половую функцию.

Структуру системной зависимости по циклу ЗВЕЗДА определяют два типа влияния: внутреннее асинхронное угнетение и внешнее (по кругу) синхронное возбуждение (рис. 1.2).



**Рис.1.2** Традиционная зависимость. Синхронные  $\longrightarrow$  и асинхронные  $\dashrightarrow$  реакции.

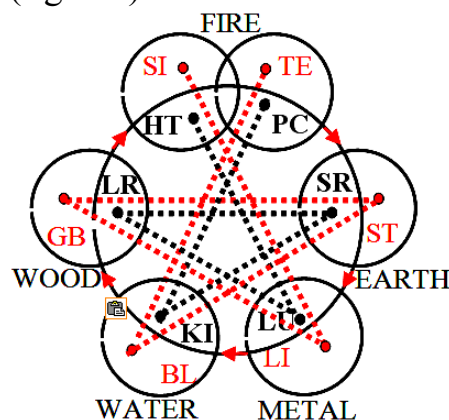
Рассмотрим биофизическую реальность внутренних связей угнетения: гипотетическую асинхронную зависимость в системных парах ИНЬ-группы SP-KI, LU-LR, KI-PC, LR-SP, HT-LU (рис.1.2, 1.3).

Биофизический анализ свидетельствует о следующем.

**По ИНЬ-системам** (рис.1.3) синхронное возбуждение пары HT-LU (женская и мужская группы) и парадоксальное возбуждение в паре LR-SP (женская группа) противоречат традиционному утверждению об асинхронной (угнетение) зависимости.

tional organ Pericardium (PC), which together with heart (HT) controls blood circulation, breathing, ability to work and sexual function.

The structure of systemic dependency through the STAR cycle is determined by two types of influence: internal asynchronous oppression and external (through the circle) synchronous excitation (fig. 1.2).

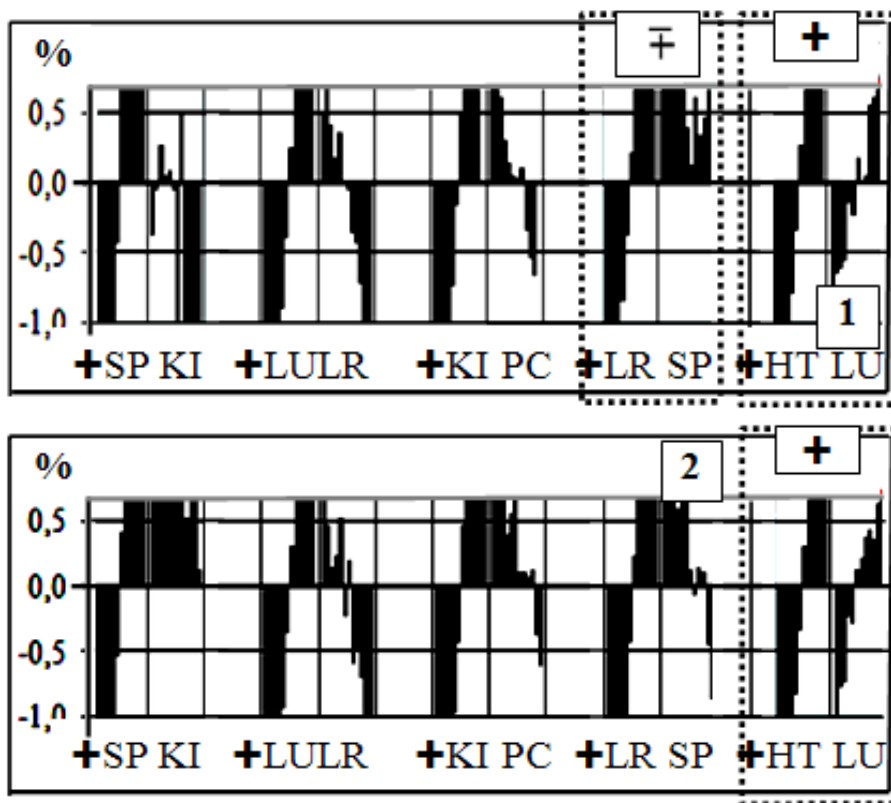


**Fig.1.2** Traditional dependency. Synchronous  $\longrightarrow$  and asynchronous  $\dashrightarrow$  reaction.

Let us observe biophysical reality of internal connections of oppression: hypothetical asynchronous dependency within systemic pairs of yin-group SP-KI, LU-LR, KI-PC, LR-SP, HT-LU (fig. 1.2, 1.3).

Biophysical analysis testifies to the following.

**Through Yin-systems** (fig.1.3) synchronous excitation of the pair HT-LU (female and male groups) and paradoxical excitation within the pair LR-SP (female group) contradict traditional statement about asynchronous (oppression) dependency.

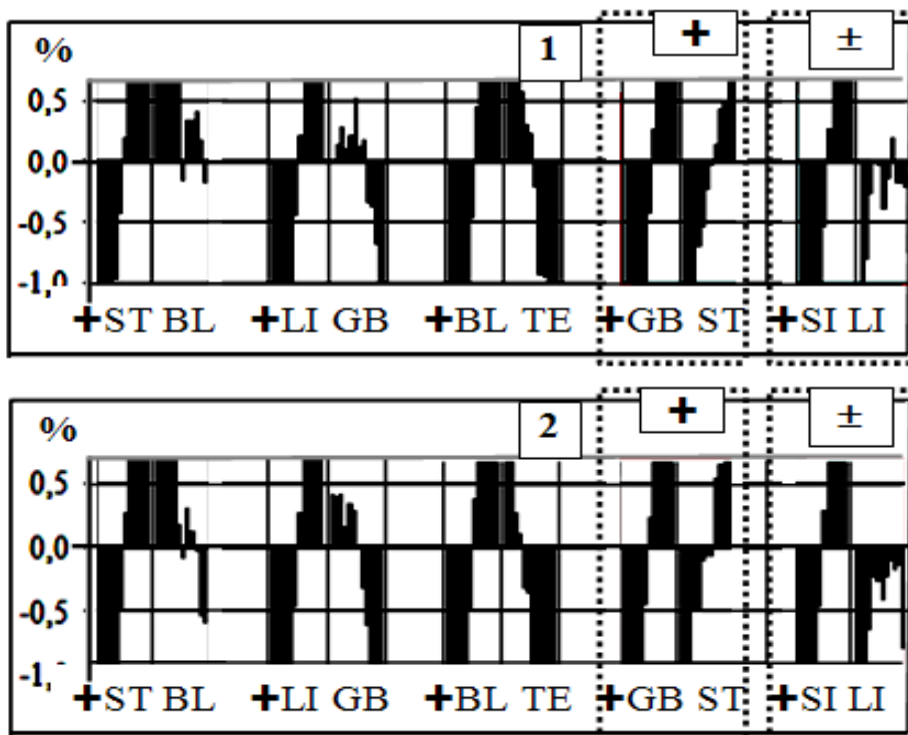


**Рис.1.3** Реальность внутренней взаимозависимости Инь-систем [цикл Звезда; женская (1) и мужская (2) группы]

**Fig.1.3** Reality of internal interdependency of Yin-systems [cycle of Star; female (1) and male (2) groups]

По ЯН-системам (рис.1.4) синхронное возбуждение пары GB-ST и парадоксальное возбуждение в паре ST-LI (женская и мужская группы) противоречат традиционному утверждению об асинхронной (угнетение) зависимости.

Through Yang-systems. (fig.1.4) synchronous excitation of the pair GB-ST and paradoxical excitation within the pair ST-LI (female and male groups) contradict traditional statement about asynchronous (oppression) dependency.



**Рис.1.4** Реальность внутренней взаимозависимости ЯН-систем [цикл Звезда; женская (1) и мужская (2) группы]

**Fig.1.4** Reality of internal interdependency of Yang-systems [cycle of Star; female (1) and female (2) groups]



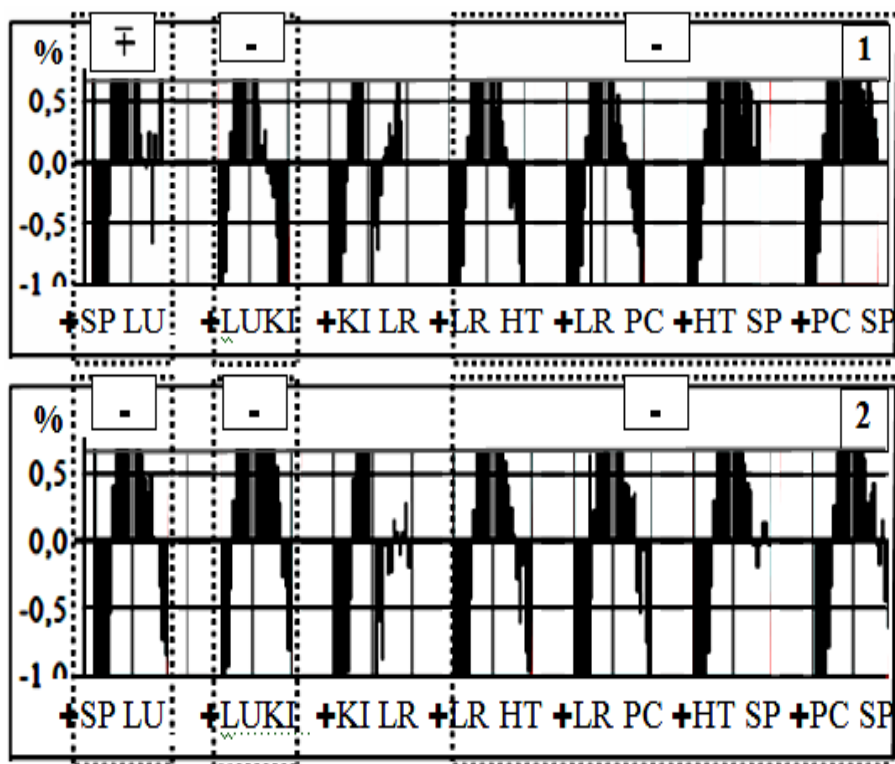


Согласно традиционному положению, внешние (по кругу) системные связи должны быть синхронными: то есть возбуждение любой из систем группы ИНЬ или ЯН должно обусловить возбуждение следующей. Что же имеем в действительности?

**По ИНЬ-системам** (рис.1.7) синхронно-системное возбуждение пары KI-LR (женская и мужская группы) стало практически единственным случаем, который подтверждает традиционное положение. Все другие системные связи связаны асинхронным угнетением.

According to traditional position, external (through the cycle) systemic connections must be synchronous: that is, excitation of any of the system of group *yin or yang* must condition excitation of the following one. So, what we have in reality?

**Through Yin-systems** (fig.1.7) synchronous-system excitation of the pair KI-LR (female and male groups) became the only case that confirms the traditional position. All other system pairs in female and male groups are interrelated by asynchronous oppression

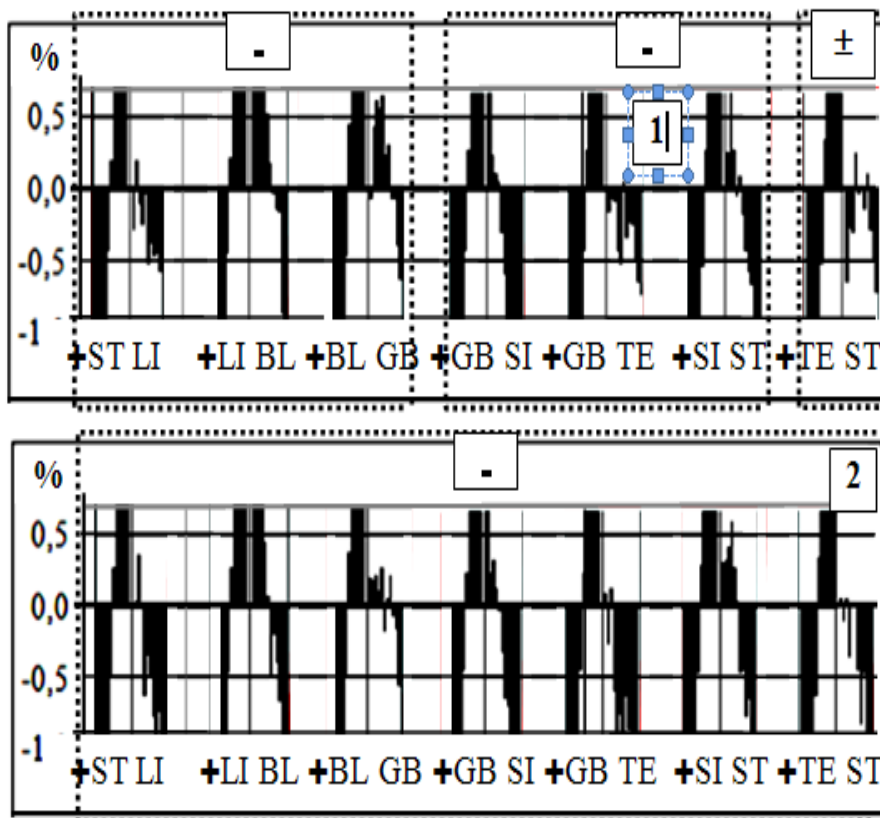


**Рис.1.7** Реальность внешней зависимости ИНЬ-систем [цикл Звезда; женская (1) и мужская (2) группы]

**Fig.1.7** Reality of external interdependency of Yin-systems [cycle of Star; female (1) and female (2) groups]

**По ЯН-системам** (рис.1.8) все без исключения пары каналов женской и мужской групп наблюдения взаимозависимы асинхронным угнетением.

**Through Yang systems** (fig.10.8) all pairs without exception in female and male groups are interrelated by asynchronous oppression...

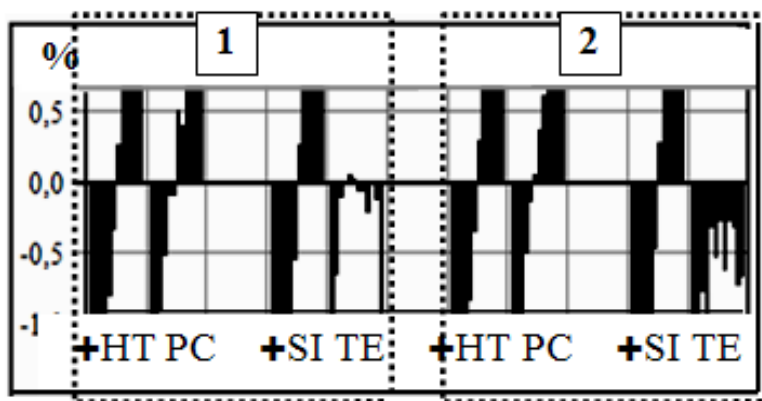


*Мал.1.8* Реальность внешней зависимости ЯН-систем [цикл Звезда; женская (1) и мужская (2) группы]

**Fig.1.8** Reality of external interdependency of yang system [Star Cycle; female (1) and male (2) groups]

Таким образом, в системных парах Элемента Огонь (рис.1.9) выявлена следующая специфика. В паре HT-PC синхронно зависимое возбуждение, а в паре SI-TE - чётко выраженная парадоксальная реакция.

In system pairs of the element **Fire** (fig.1.9) the following specifics have been detected. In the pair HT-PC synchronous dependent excitation has been detected and in pair SI-TE – distinctly expressed paradoxical reactions.

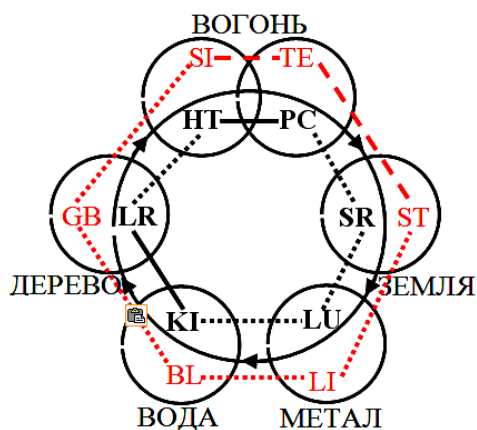


*Рис.1.9* Биофизика системной зависимости по элементу Огонь.

**Fig.1.9** Biophysics of system dependency through the element Fire.

В целом биофизический анализ свидетельствует о следующей реальности внешней системной зависимости по циклу Звезда (рис.1.10).

Generally, biophysical analysis testifies to the following reality of the external systemic interdependency through the Star cycle (fig.1.10).

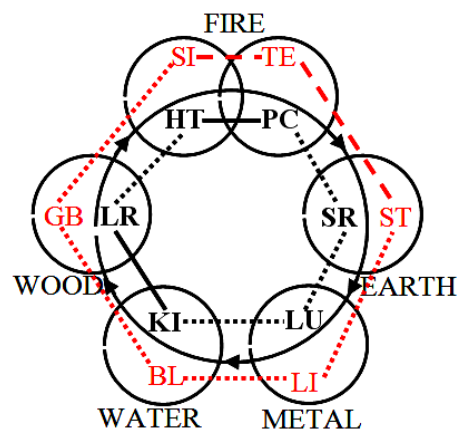


**Рис.1.10** Биофизическая реальность внешних связей цикла ЗВЕЗДА (синхронные. —> асинхронные ...> и парадоксальные реакции - ->).

Приведенные данные поражают! Но нужно рассмотреть ещё один вариант. В монографии известного знатока китайской иероглифики П.В. Белоусова читаем: "Взаимоотношение Пяти элементов (рис.1.1) проявляется в пяти основных направлениях: активация (生 шэн), угнетение (克 кэ), избыточное угнетение (乘 чэн), противоугнетение (侮) и нарушение взаимодействия по принципу СЫН-МАТЬ (子母相及)".

Чрезмерное угнетение (乘) идёт обычным путём, но, в отличие от него, является патологическим и обуславливает реакцию противоугнетения (侮), которая направлена на активацию Элемента угнетения угнетаемым Элементом.

Давайте проверим этот вариант. Согласно схеме (рис.1.11) в каждой триаде систем (Ян-группа: BL-GB-SI, GB-SI-TE, SI-TE-ST, TE-ST-LI, ST-LI-BL, LI-BL-GB; Инь-группа: KI-LR-HT, LR-HT-PC, HT-PC-SP, PC-SP-LU, SP-LU-KI, LU-KI-LR) угнетение ВНУКА обуславливает защитное противоугнетение возбуждённого ДЕДА. То есть ожидаемое "противо-



**Fig.1.10** Biophysical reality of external connections of Star cycle (synchronous —> asynchronous ...> and paradoxical - -> reaction).

The presented data do impress! But it is necessary to observe one more variant. In the monograph of well known expert of Han characters Belousov P.V. we may read: "Interrelation of the five elements (fig.1.1) appears in five major directions: activation (生-shēng), oppression (克-kha), surplus oppression (乘-chéng), anti oppression (侮-wu), and also disorder of the interaction according to the principle Son-Mother (子母相及)".

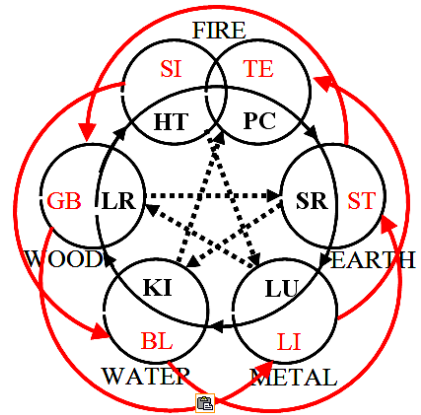
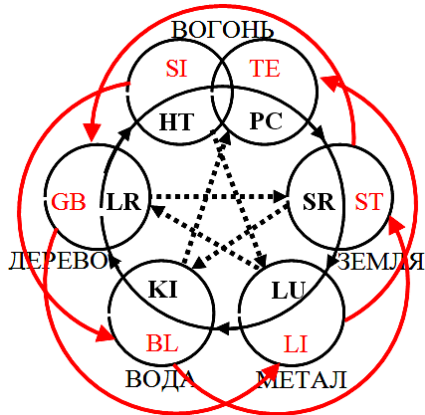
Surplus oppression (乘) follows the usual way, but, in opposition to it, is pathological and conditions reaction of anti oppression (侮). According to traditional theory, the latter is targeted at activation of the element of oppression by the oppressed element...

Let us check this variant. According to the scheme (fig.1.11), in every triad of the systems (Yang-group: BL-GB-SI, GB-SI-TE, SI-TE-ST, TE-ST-LI, ST-LI-BL, LI-BL-GB; Yin-group: KI-LR-HT, LR-HT-PC, HT-PC-SP, PC-SP-LU, SP-LU-KI, LU-KI-LR) oppression of Grandson conditions protective oppression of the excited Grandfather. That is, expected "anti oppression" of



угнетение "возбуждённого ДЕДА должно быть в следующих системных парах ВНУК-ДЕД: Ян-группа: BL-ST, GB-LI, SI-BL, TE-BL, ST-GB, LI-SI, LI-TE; Инь-группа: KI-SP, LR-LU, HT-KI, PC-KI, SP-LR, LU-HT, LU-PC.

excited Grandfather must be in the following system pairs Grandson-Grandfather: Yang-group: BL-ST, GB-LI, SI-BL, TE-BL, ST-GB, LI-SI, LI-TE; Yin-group: KI-SP, LR-LU, HT-KI, PC-KI, SP-LR, LU-HT, LU-PC...

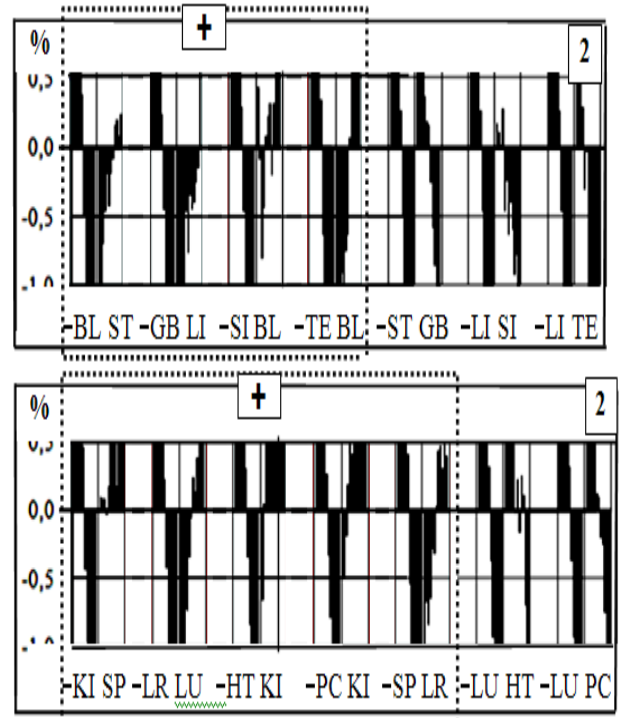
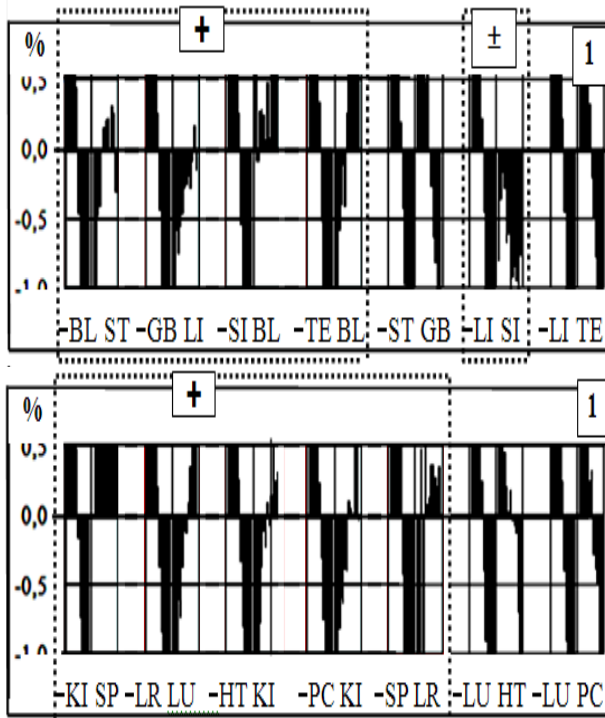


**Рис.1.11** Традиционное влияние "противоугнетения" по В.П.Белузову (синхронные  $\longrightarrow$  асинхронные  $\cdots\longrightarrow$  и парадоксальные реакции  $\longrightarrow$ ).

**Fig.1.11** Traditional influences "anti oppression" according to V. Belousov (synchronous  $\longrightarrow$ , asynchronous  $\cdots\longrightarrow$  and "anti oppression reaction"  $\longrightarrow$ ).

В реальности имеем следующее (рис.1.12).

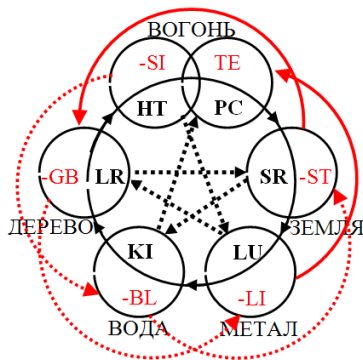
In reality we get the following (fig. 1.12).



**Рис.1.12** Биофизическая реальность противоугнетения каналов ЯН-ИНЬ в женской (1) и мужской (2) группах.

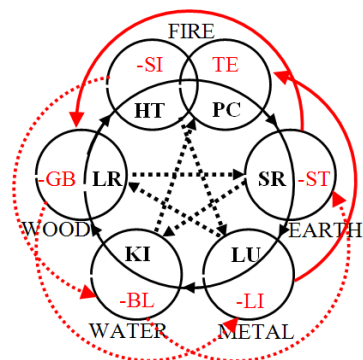
**Fig.1.12** Biophysical reality of anti-oppression of YANG-YIN channels in female (1) and male (2) groups.

Как видно из приведенного материала (рис.1.12, 1.13.1-2), у 64,3% случаев традиционно ожидаемого эффекта угнетения возбужденного ДЕДА путем "противоугнетения" не имеют биофизической поддержки. При этом обращает на себя внимание разница функциональной зависимости между системами Элементов "Земля" и "Дерево". Каналы ST-GB (Ян-группа) синхронно подчинены правилу "противоугнетения", а SP-LR нет.

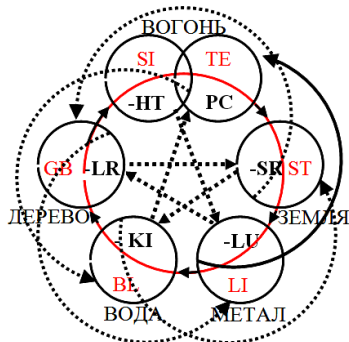


**Рис.1.13-1** Реальность "противоугнетения" в системе каналов ЯН-группы

As it is seen from the material (fig. 1.12, 1.13...1-2), that in 64,3% of cases, traditionally expected effect of oppression of excited Grandfather by "anti oppression" has no biophysical support. At the same time it is interesting to note the difference of functional dependency between the systems of Elements "Earth" and "Wood". Channels ST-GB (YANG-group) are synchronously subordinated to the rule "anti-oppression", and SP-LR are not.

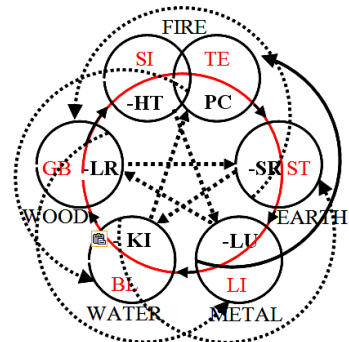


**Мал.1.13-1** Reality of "anti-oppression" in the system of channels of YANG- group



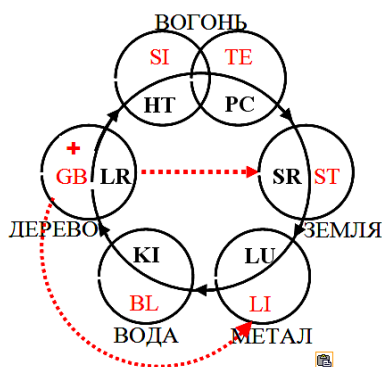
**Рис.1.13-2** Реальность "противоугнетения" в системе каналов ИНЬ-группы

Но имея в виду серьезность профессионального перевода рассмотрим ещё один вариант предложенной традиционной зависимости. Рассмотрим системное взаимоотношение по следующей схеме (рис.1.14).



**Мал.1.13-2** Reality of "anti-oppression" in the system of channels of YIN group

However, taking into account seriousness of the professional translation, let us observe one more variant of the proposed traditional dependency. Let us examine system interrelation according to the following scheme (fig.1.14).

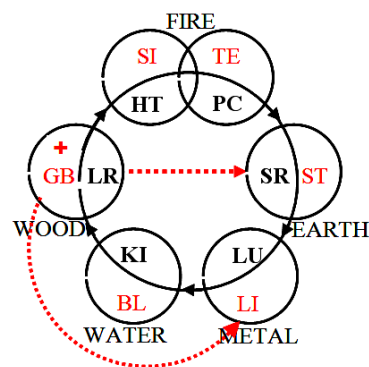


**Рис.1.14** Взаимоотношение Элементов по В.П.Белову (синхронные  $\longrightarrow$  и асинхронные  $\cdots\longrightarrow$  реакции).

Когда один из пяти Элементов излишне сильный, он в недостаточной мере поддается влиянию Элемента угнетения и начинает сам его угнетать. Например, в нормальном состоянии МЕТАЛЛ угнетает ДЕРЕВО. Когда ДЕРЕВО излишне сильное, чтобы быть угнетаемым, оно само начинает угнетать МЕТАЛЛ (противоугнетение; 木侮金).

На этой основе, чрезмерное возбуждение систем Элемента ДЕРЕВО должно дать угнетение (-) системам Элемента ЗЕМЛЯ и противоугнетение (-) системам Элемента МЕТАЛЛ. Таким образом, ожидаемый результата должен быть в следующих системных группах: Ян-группа (GB+ST-LI-, SI+LI-KI-, TE+LI-KI-, ST+KI-GB-, LI+GB-TE-, LI+GB-SI-, BL+TE-ST-); ИНЬ-группа (LR+SP-LU-, HT+LU-KI-, PC+LU-KI-, SR+KI-LR-, LU+LR-PC-, LU+LR-HT-, KI+PC-SP-).

В реальности мы видим следующее [рис.1.15; женская (1) и мужская(2) группы].



**Fig.1.14** Interrelation of five elements according to V.P.Belousov (synchronous  $\longrightarrow$  , asynchronous  $\cdots\longrightarrow$  reaction).

When one of the five elements is too strong, it is inadequately influenced by the element of oppression and begins to oppress it itself. For example, in normal condition Metal oppresses Wood. When Wood is too strong to be oppressed, it starts to oppress Metal (v; 木侮金).

On this basis, surplus excitation of systems of the element Wood must give oppression (-) to the systems of the element Earth and anti oppression (-) to the systems of the element Metal. Thus, the mentioned consequence must be indicated in the following system groups: Yang-group (GB+ST-LI-, SI+LI-KI-, TE+LI-KI-, ST+KI-GB-, LI+GB-TE-, LI+GB-SI-, BL+TE-ST-); Yin-group (LR+ SP-LU-, HT+LU-KI-, PC+LU-KI-, SR+KI-LR-, LU+LR-PC-, LU+LR-HT-, KI+PC-SP-).

In reality we see the following [fig. 10.15; female (1) and male (2) groups].

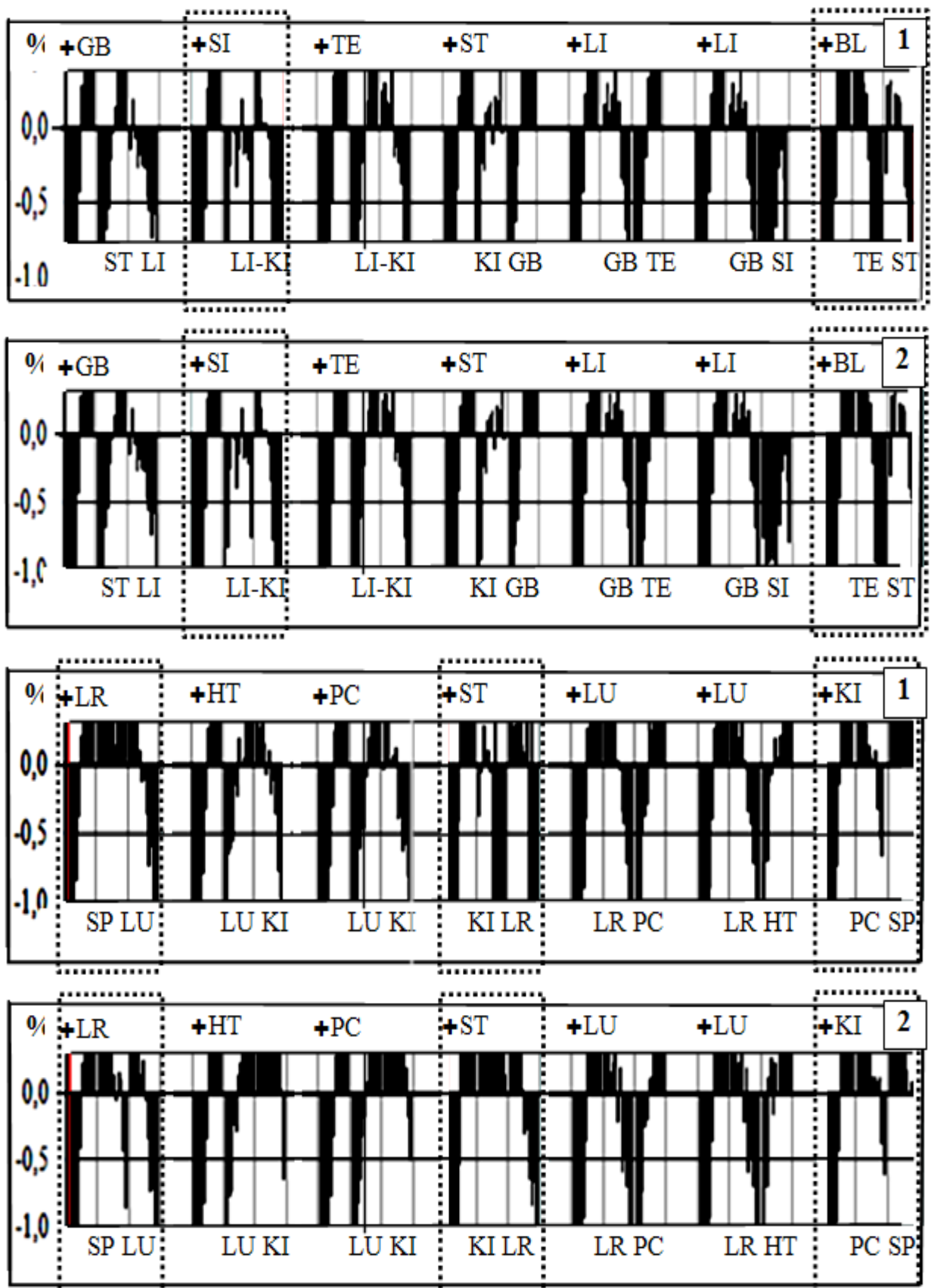


Рис.1.15 Взаимоотношение пяти Элементов [по В.П.Беловову; женская (1) и мужская (2) группы].

Fig.1.15 Interrelation of five elements [according to V. P. Belousov; female (1) and male (2) groups].





гии ЧИ; Внутренние биологические часы; Мать-Сын по Большому кругу; Дед-Внук (Отец-Сын); Полдень-Полночь; Левый-Правый (Мужчина-Женщина); Спаренные каналы; центростремительная и центробежная энергетическая направленность каналов.

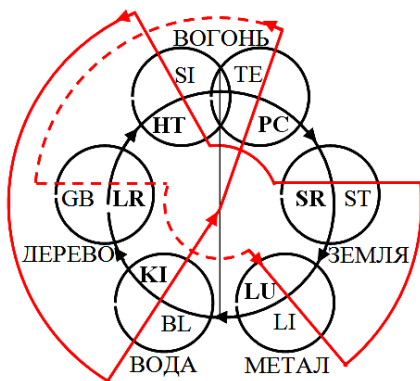
cal clock; Mother-Son through the Big Cycle; Grandfather-Grandson (Father-Son); Midday-Midnight; Left-Right (Man-Woman); Paired channels; centripetal and centrifugal power (energy) direction of channels ...

**БИОФИЗИЧЕСКАЯ РЕАЛЬНОСТЬ  
ТРАДИЦИОННОГО ПРАВИЛА  
"БОЛЬШОЙ КРУГ ЦИРКУЛЯЦИИ ЧИ".**

**BIOPHYSICAL REALITY OF THE  
TRADITIONAL POSITION "BIG CYCLE  
OF QI CIRCULATION".**

Традиционное правило "БОЛЬШОЙ КРУГ ЦИРКУЛЯЦИИ ЭНЕРГИИ ЧИ" предусматривает последовательно направленный переход "энергии ЧИ" по упорядоченной системе каналов "LU-LI-ST-SP-HT-SI-BL-KI-PC-TE-GB-LR-LU" (рис.1.18).

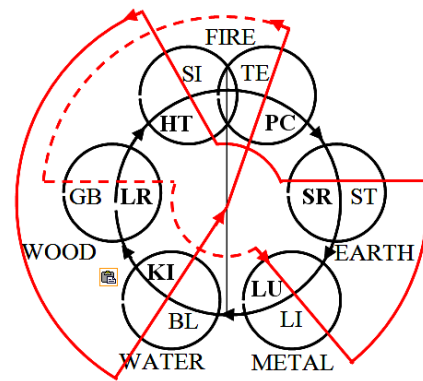
Traditional rule "BIG CYCLE OF ENERGY *qi* CIRCULATION" involves directed successive transition of "energy *qi*" through well-arranged channel system "LU-LI-ST-SP-HT-SI-BL-KI-PC-TE-GB-LR-LU" (fig.1.18).



**Рис.1.18 БОЛЬШОЙ КРУГ**  
*энергетической циркуляции*

Его традиционный путь указывает сплошная ломаная линия через каналы LU-LI-ST-SP-HN-SI-BL-KI и пунктирная через PC-TE-GB-LR-LU. Согласно традиционному представлению длительность энергетического цикла составляет 24 часа с двухчасовой задержкой максимальной активности в каждом канале.

Рассмотрим системную зависимость в порядке её традиционной топографии по Большому кругу на примере возбуждения BL, LI, HT и



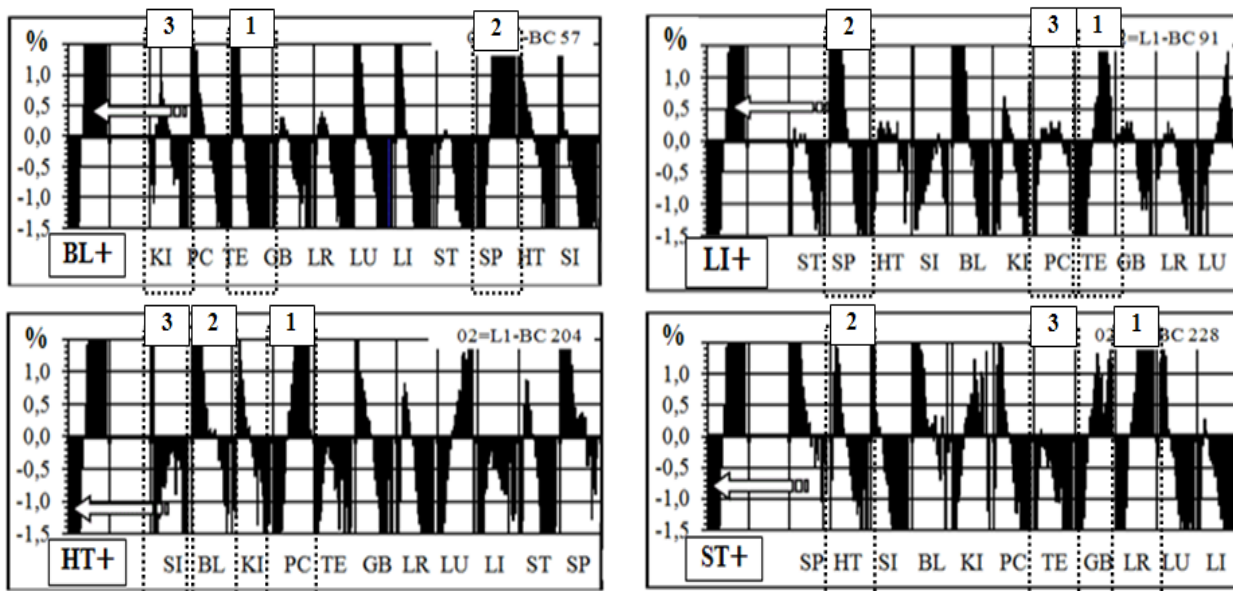
**Fig.1.18 BIG CYCLE**  
*of energy circulation*

Its traditional way is indicated by the entire curve through channels LU-LI-ST-SP-HN-SI-BL-KI and acupunctural through PC-TE-GB-LR-LU. According to traditional idea, duration of energy cycle takes 24 hours with two-hour's delay of maximal activity within every channel.

Let us examine system dependency in the order of its traditional topography through the Big cycle, with the example of excitation of BL,LI,HT and ST

ST (рис.1.19). Их выбор обоснован реальностью отдельных функциональных комплексов, которые внесли в топографию традиционного Большого круга существенную поправку (об этом в соответствующем разделе – Функциональные комплексы).

(fig.1.19). Their choice is based on the reality of separate functional complexes, which included in the topography of traditional Big cycle a significant correction (about it in the appropriate chapter - Functional complexes)...



**Рис.1.19** Системная зависимость по традиционному Большому кругу [синхронная (1), асинхронная (2) и парадоксальная (3)].  
**Fig.1.19** Systemic dependency through traditional Big cycle [synchronous (1), asynchronous (2) and paradoxical (3)].

Как видим (рис.1.19) системные реакции на возбуждение отдельных каналов не однотипны и разнонаправлены (синхронные, асинхронные и парадоксальные). Выявленная зависимость разнонаправленной активности систем на возбуждение отдельных каналов и её, на первый взгляд, нелогичная последовательность по циклу традиционной топографии Большого круга настораживает. К тому же обращает на себя внимание аналогичность системной зависимости в отдельных женских и мужских группах. В чем же дело?

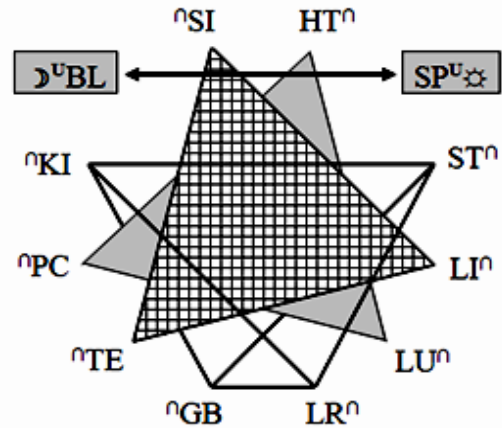
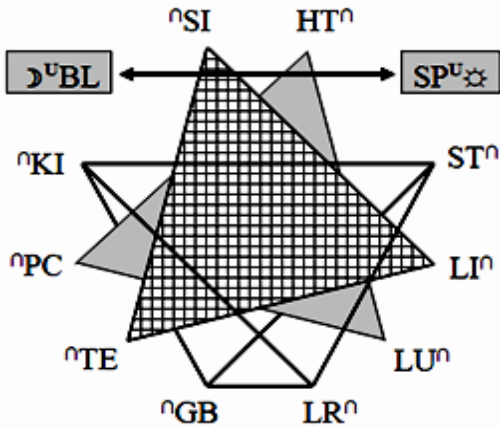
As we see (fig.1.19) system reactions on excitation of separate channels are of different type and directed differently (synchronous, asynchronous and paradoxical). The discovered dependency of differently directed system activity at excitation of separate channels and its, at first sight, illogical sequence through the cycle of traditional topography of Big cycle really alerts. Additionally, we should note analogy of system dependency within separate female and male groups. So, what is it all about?

Давайте рассмотрим её с позиции известной на сегодня биофизической реальности - феномена системных функциональных комплексов BL-SP,

Let us observe it from the position of existing biophysical reality - phenomenon of system functional complexes BL-SP, LI-TE-SI, LU-PC-HT

LI-TE-SI, LU-PC-HT и ST-GB-KI-LR... Их функциональной особенностью является синхронно зависящая активность комплексных систем на возбуждение (угнетение) любого из каналов комплекса (рис.1.20).

and ST-GB-KI-LR... Their functional peculiarity is synchronously dependent activity of internal systems at excitation (oppression) of any channel of the complex. (fig. 1.20).

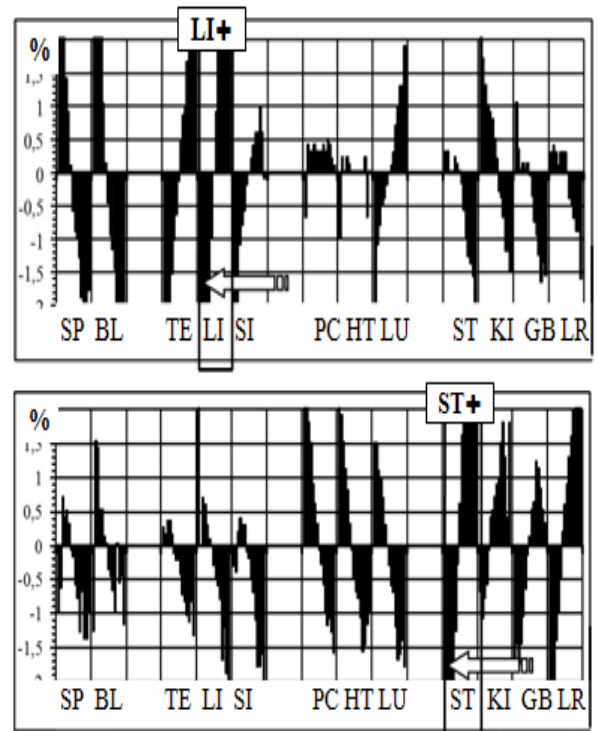
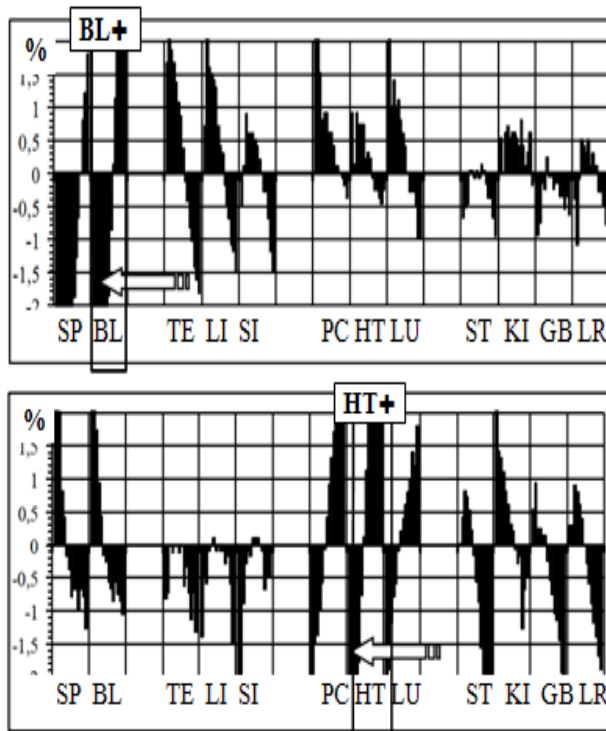


**Рис.1.20** Биофизическая реальность функциональных комплексов

**Fig.1.20** Biophysical reality of functional complexes

На биофизическую реальность феномена указывают функциональные комбинации материалов, взятых из вышеприведенных гистограмм (рис. 1.21).

Functional combinations of materials, taken from the histograms above, point out the biophysical reality of the mentioned phenomenon. (fig.1.21).



**Рис.1.21** Комплексная зависимость и возбуждённые каналы BL, LI, HT, ST.

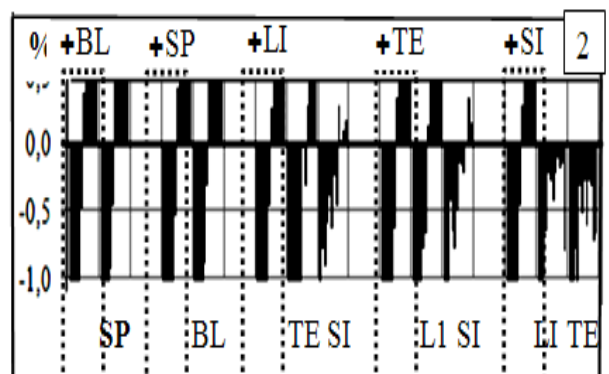
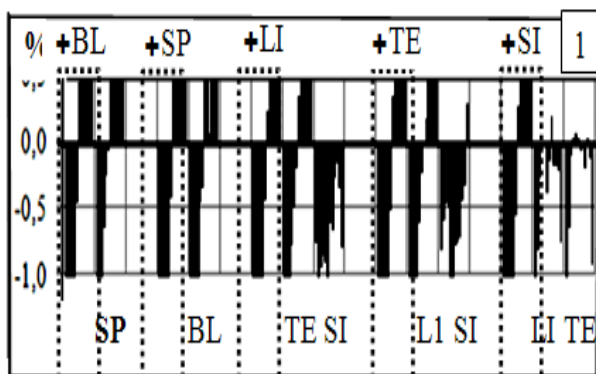
**Fig.1.21** System-complex dependency during excitation of separate channels (BL, LI, HT, ST)

Если их рассматривать в зависимости от возбуждения выбранных для анализа систем (BL, LI, HT, ST), получим отдельные комплексы со специфическими типами зависимости (рис.1.21). При этом обращает внимание диаметрально противоположное изменение комплексной активности при возбуждении разных комплексных представителей.

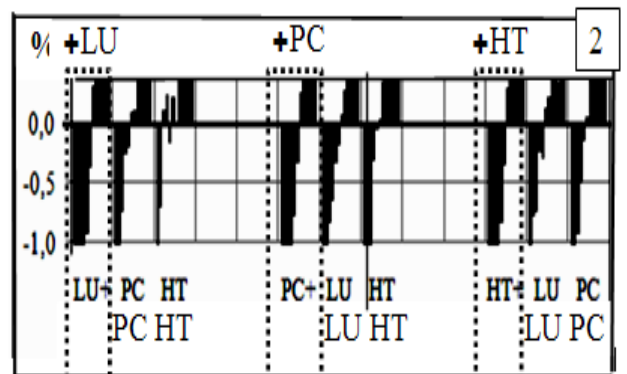
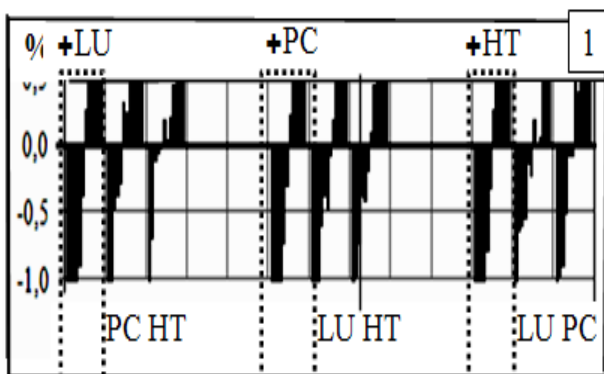
Принимая во внимание принципиальность затронутого вопроса (реальность Большого круга), рассмотрим синхронно-комплексную зависимость в женской (1) и мужской (2) группах наблюдения. Как видно из приведенного материала (мал.1.22.1-3), возбуждение любой из комплексных систем обуславливает аналогичное синхронное возбуждение остальных...

If to observe them in the dependency on excitation of selected for analysis systems (BL, LI, HT, ST), we will get specifically dependent complexes, that demonstrate specific types of dependency (fig.1.21). At the same time, attention gets diametrically opposite change of complex activity during excitation of various complex representatives...

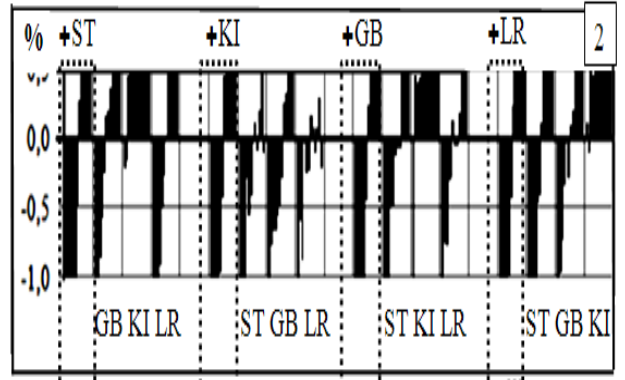
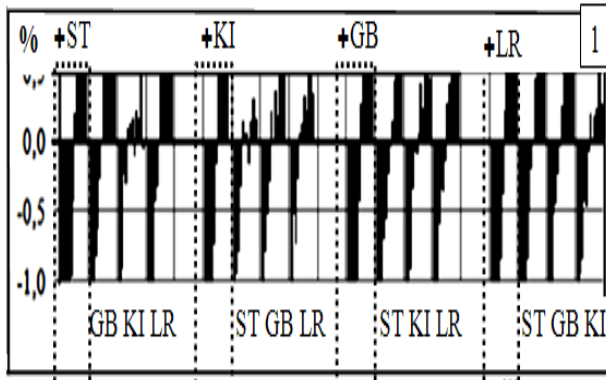
Taking into account principle approach to the issue (reality of the traditional Big cycle of energy  $qi$  circulation) let us take a look at synchronous complex interdependence separately in female (1) and male (2) groups. As you can see from the material (fig. 1.22...1-3), excitation of complex systems conditions analogical synchronous excitation of other systems...



**Рис.10.22-1** Внутри системная зависимость комплексов **BL-SP** и **LI-TE-SI**  
**Fig.10.22-1** Internal-system dependence of complexes **BL-SP** and **LI-TE-SI**



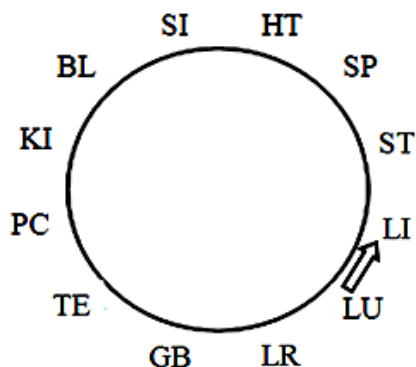
**Рис.10.22-2** Внутри системная зависимость комплекса **LU-PC-TE**  
**Fig.10.22-2** Internal-system dependence of complex **LU-PC-TE**



**Рис.10.22-3** Внутри системная зависимость комплекса *ST-KI-GB-LR*  
**Fig.10.22-3** Internal-system dependence of complex *ST-KI-GB-LR*

После анализа приведенных материалов напрашивается однозначный вывод: биофизическая реальность функционально зависимых системно-комплексных реакций противоречит традиционному взгляду на последовательность энергетической циркуляции.

Но возникает резонный вопрос о топографической совместимости функциональных комплексов с традиционной топографией акупунктурных каналов в системе Большого круга (напомним, что последняя обусловлена гипотетической последовательностью энергетического перехода по линии LU-LI-ST-SP-HT-SI-BL-KI-PC-TE-GB-LR-LU; рис.1.23).

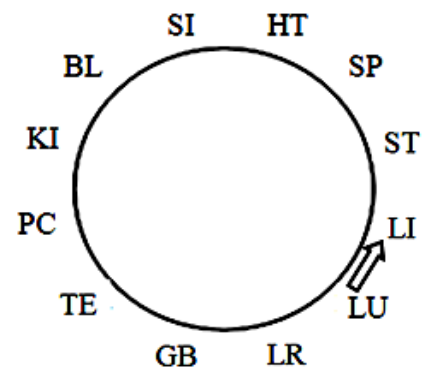


**Рис.1.23** Топография каналов по традиционному Большому кругу.

Как оказалось, каждая система отдельных функциональных комплексов

After the analysis of the provided materials appears only one conclusion: biophysical reality of functionally dependent system-complex reactions contradicts traditional view on sequence of energy circulation ...

But appears a reasonable question about topographical compatibility of functional complexes with traditional topography of acupunctural channels through the system of Big cycle (let us remind, that the latter is conditioned by hypothetical sequence of energy transition along the line LU-LI-ST-SP-HT-SI-BL-KI-PC-TE-GB-LR-LU; fig. 1.23).

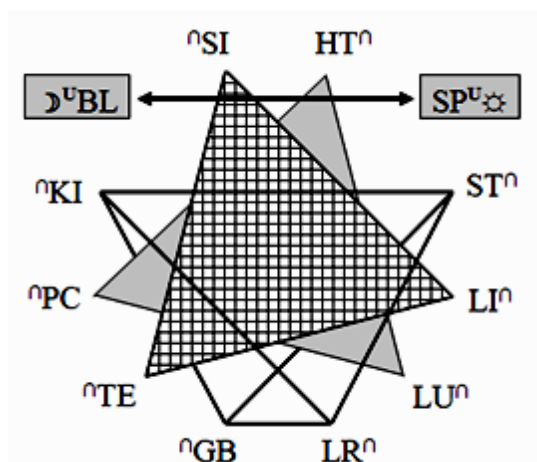


**Fig.1.23** Topography of channels through the Big cycle.

As it turned out, every system of separate functional complexes, without



сов, не нарушая традиционной последовательности, заняла в Большом кругу топографически совпадающие места (рис.1.24)!

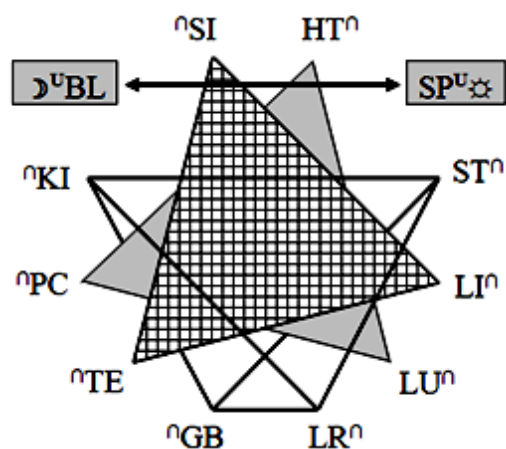


**Рис.1.24** Комплектация Большого круга функциональными комплексами.

Стало очевидным, что традиционный Большой круг фактически формируют неизвестные восточным апологетам отдельные функциональные комплексы (BL-SP, LI-TE-SI, LU-PC-HT и ST-GB-KI-LR). При этом синхронно зависимая активность внутри-комплексных систем и выявленный феномен парадоксальных реакций, биофизически делают невозможной традиционную "суточную последовательность энергетической циркуляции" по Большому кругу!

**Выводы.** Традиционный БОЛЬШОЙ КРУГ энергетической циркуляции не имеет биофизической поддержки.

violation of traditional sequence, taken in Big cycle topographically concurrent places (fig.1.24)!



**Fig.1.24** Arrangement of the Big cycle by with functional complexes

It became obvious, that traditional Big cycle is in fact composed of unknown for Eastern apologists separate functional complexes (BL-SP, LI-TE-SI, LU-PC-HT and ST-GB-KI-LR). At the same time, synchronously dependent activity of internal-complex systems and the discovered phenomenon of paradoxical reactions make biophysically impossible the traditional "daily sequence of energy circulation" through the Big cycle!

**Conclusion.** Traditional BIG CYCLE of energy circulation has no biophysical support.

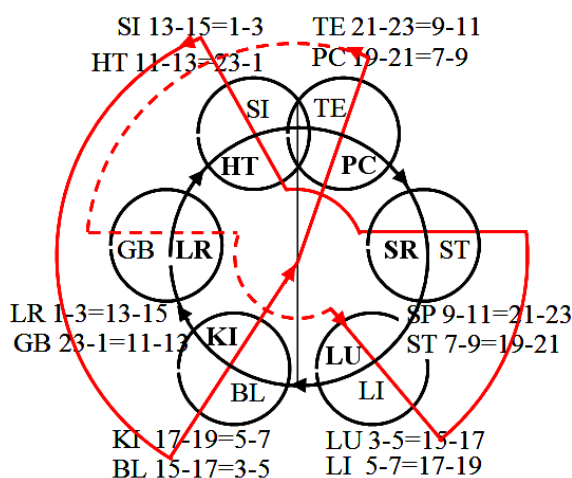
<b>БИОФИЗИЧЕСКАЯ РЕАЛЬНОСТЬ ТРАДИЦИОННОГО ПРАВИЛА "ВНУТРЕННИЕ БИОЛОГИЧЕСКИЕ ЧАСЫ"</b>	<b>BIOPHYSICAL REALITY OF THE TRADITIONAL POSITION "INTERNAL CLOCK" (CONCEPTION WU XING).</b>
---	---

Традиционное представление о Большом круге и двух часовой активности отдельных ЯН-ИНЬ комплексов (Спаренные каналы) стало гипотетической основой следующего

Traditional idea of Big cycle and two-hour activity of separate system yang-yin complexes became a hypothetical basis of the next traditional rule – Internal Biological Clock. According to

традиционного правила - Внутренние Биологические часы. Согласно правилу, циркуляция энергии в парных ветках 12-ти каналов (меридианов) подчинена последовательному двух-часовому застою в комплексах LU-LI, BL-KI, GB-LR, SI-HT, TE-PC и ST-SP. На протяжении суток (с 12-ти часовым перерывом) это обуславливает характерное чередование их максимальной и минимальной активности (рис.1.25).

the rule, circulation of energy within paired branches of 12 channels (meridians) subordinated to two-hour biological rhythm (delay) within complexes of Paired channels (LU-LI, BL-KI, GB-LR, SI-HT, TE-PC and ST-SP), which throughout the day (with 12-hours' period) conditions characteristic sequence of their maximal and minimal activity (fig.1.25).



**Рис.1.25** Традиционное правило ВНУТРЕННИЕ БИОЛОГИЧЕСКИЕ ЧАСЫ

**Fig.1.25** Traditional rule INTERNAL BIOLOGICAL CLOCK

Эти же данные представлены в табл.1.26, более привычной для западных специалистов

The same data is represented in the tab.1.26, more habitual for western experts.

**Таблица 1.26**

**АКТИВНІСТЬ ФУНКЦІОНАЛЬНИХ СИСТЕМ (ФС) ПО ГОДИНАМ ДОБИ**

ФС	АКТИВНІСТЬ		ФС	АКТИВНІСТЬ	
	макс.	мін.		макс.	мін.
LU	3-7	15-17	BL	15-17	3-5
LI	5-7	17-19	KI	17-19	5-7
ST	7-9	19-21	PC	19-21	7-9
SP	9-11	21-23	TE	21-23	9-11
HT	11-13	23-1	GB	23-1	11-13
SI	13-15	1-3	LR	1-3	13-15

**Table 1.26**

**ACTIVITY OF FUNCTIONAL SYSTEMS (FS) ACCORDING TO DEY HOURS**

FS	ACTIVITY		FS	ACTIVITY	
	max	min		max	min
LU	3-7	15-17	BL	15-17	3-5
LI	5-7	17-19	KI	17-19	5-7
ST	7-9	19-21	PC	19-21	7-9
SP	9-11	21-23	TE	21-23	9-11
HT	11-13	23-1	GB	23-1	11-13
SI	13-15	1-3	LR	1-3	13-15

Каноническая теория утверждает, что последовательно-зависимый энергетический переход с двух часовой задержкой активности ЧИ в отдельных комплексах Спаренных каналов формирует замкнутый суточный цикл.

Canonical theory states that sequence-dependent energy transition with two-hour' delay of *QI* activity in separate complexes of Paired channels forms closed daily cycle. It should be noted, that the mentioned rule is being

Следует отметить, что указано правило частично используют в практической хронобиологии, находя определенную аналогию с цикадными биологическими ритмами. Последние, с точки зрения космобиологии, являются резонансным отражением Больших космических циклов, ведь многие биологические события совпадают с максимумом и минимумом солнечной активности.

Для анализа биофизической реальности гипотетического правила представлены материалы суточного наблюдения за системной зависимостью в фазу Полной Луны (1130 наблюдений; табл.1.27, 01-D4). Указанный период выбран не случайно. К нему мы ещё вернемся при рассмотрении феномена двухчасовой системной активности по парным и непарным часам суток.

partially used in practical chronobiology, finding some analogy with biological rhythms of cicadas. The latter, from the point of view of cosmobiology, are resonance reflection of Big cosmic cycles, because many biological events concur with maximum and minimum of solar activity.

For the analysis of biophysical reality of hypothetical rule, here are the materials of daily observation of system dependency in phase of Full Moon (1130 observations; tab.1.27, 01-D4). The specified period was not chosen randomly. We will get back to it during examination of phenomenon of two-hour system activity and odd day hours ...

Таблица 1.27 Table 1.27

Биофизическая реальность правила "Внутренние биологические часы"  
Biophysical reality of the traditional position "Internal clock"

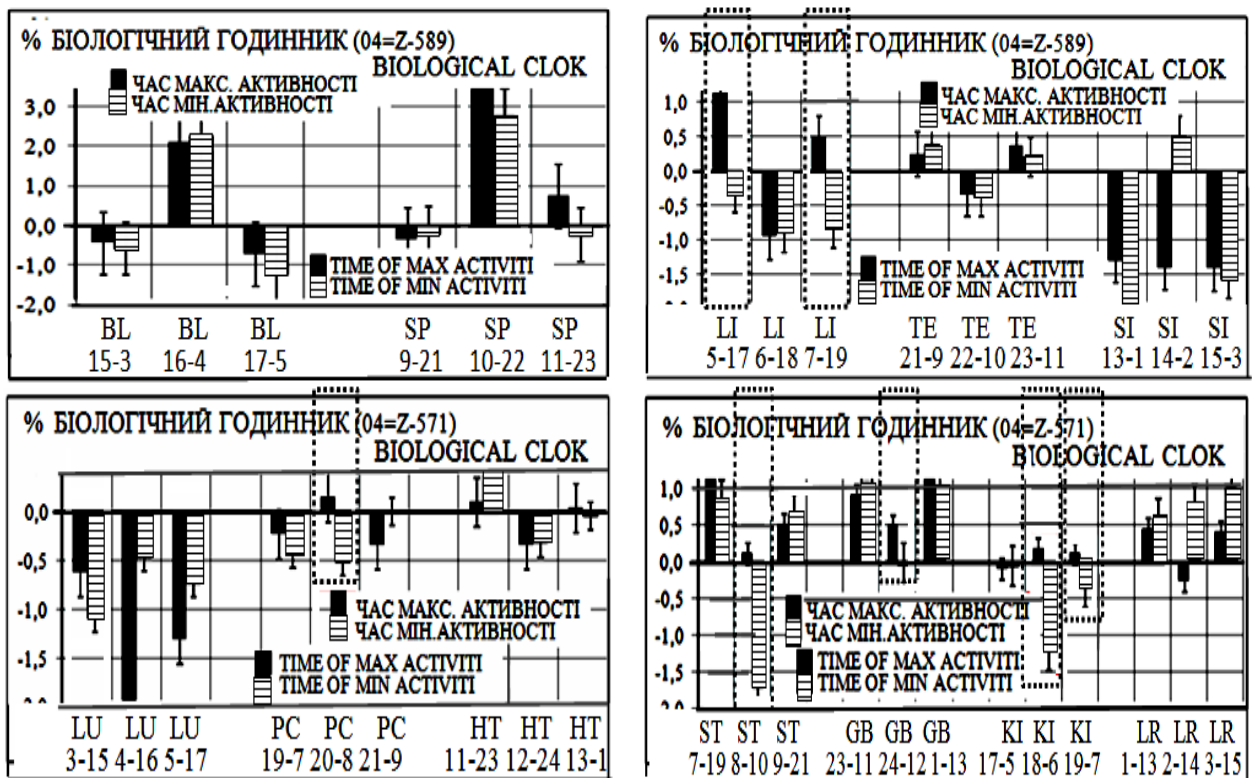
⌚	Biophysical reality of the position BIOLOGICAL CLOCK											
	LR	LU	LI	ST	SP	HT	SI	BL	KI	PC	TE	GB
1	0,45	-1,43	0,03	1,40	-0,27	-0,04	-1,90	0,25	0,30	-0,58	0,44	1,40
2	-0,25	0,44	-1,81	-0,29	3,65	-0,92	0,52	2,67	-0,39	0,13	-2,74	-1,00
3	0,41	-0,62	0,51	-0,01	-0,18	-0,24	-1,57	-0,57	-0,06	0,15	1,17	1,07
4	1,42	-2,15	-0,43	0,57	3,47	-1,03	-2,33	2,30	-0,51	-1,19	-0,44	0,37
5	0,11	-1,30	1,15	0,52	-0,97	0,30	-1,41	-1,22	-0,05	-0,09	1,65	1,37
6	1,43	-1,66	-0,95	-1,22	3,11	-0,90	-1,85	3,19	-1,19	0,37	-0,31	0,11
7	0,29	-1,30	0,50	1,19	-0,42	0,08	-1,59	-0,57	-0,34	-0,42	0,93	1,68
8	0,38	-1,50	-0,59	0,12	0,95	-0,48	-1,33	1,37	-0,63	-0,50	0,93	1,36
9	0,13	-0,92	0,17	0,52	-0,36	0,51	-1,34	-0,06	-0,08	0,01	0,39	1,04
10	-0,80	-1,13	-0,72	-0,84	4,34	-0,12	-1,61	2,64	-0,89	0,23	-0,37	-0,61
11	0,16	-1,24	-0,35	1,10	0,74	0,10	-1,62	0,06	-0,01	-0,46	0,21	1,45
12	1,68	-1,33	-1,07	2,07	1,87	-0,33	-2,51	1,99	0,04	-1,10	-1,28	-0,01
13	0,59	-0,88	0,14	0,57	0,53	0,04	-1,29	-0,76	0,01	-0,41	0,50	1,04
14	0,79	-0,79	-0,01	0,65	0,66	-0,24	-1,40	0,54	1,05	-0,45	-0,08	-0,64
15	1,02	-1,08	-0,39	1,00	0,72	-0,68	-1,41	-0,44	0,25	-0,28	0,46	0,91
16	1,28	-0,46	-1,71	0,36	2,10	-0,76	-1,77	2,11	0,11	-0,48	-1,12	0,38
17	1,03	-0,72	-0,31	0,54	0,21	0,28	-1,87	-0,71	-0,09	-0,28	0,83	1,17
18	0,17	-0,69	-0,89	-0,45	1,77	0,27	-1,93	1,31	0,18	-0,48	0,01	0,77
19	0,73	-1,10	-0,82	0,84	0,73	0,16	-1,90	0,43	0,12	-0,23	-0,07	1,15
20	-1,02	0,16	-1,97	-1,70	3,34	0,24	-0,78	3,10	0,20	0,15	-1,03	-0,66
21	0,72	-0,85	-0,26	0,66	-0,19	0,47	-1,83	-0,37	0,18	-0,34	0,25	1,62
22	0,17	-0,27	-2,25	-1,56	2,78	-0,28	-1,16	3,99	-0,66	-0,22	-0,33	-0,16
23	0,49	-0,91	-0,09	0,94	-0,23	0,38	-1,28	-0,53	0,19	-0,19	0,36	0,92
24	-0,13	-1,22	-0,49	-0,92	2,21	-0,31	-1,09	2,83	-0,47	-0,34	-0,57	0,50

Периоды макс. активности выделено красным, а минимальной – чёрным.

Periods of maximal system activity are in red, minimal – in black.

Почасовое суточное наблюдение (женская группа) свидетельствует об отсутствии декларируемого соотношения системной максимальной (■) и минимальной (▤) активности (рис. 1.28). Аналогичная ситуация складывается и при анализе средних данных системно-суточной максимальной и минимальной активности, что обусловливает вынужденный вывод: традиционное правило "Внутренние Биологические часы" с 12-ти часовым периодом не имеет биофизической поддержки.

Hourly observations throughout 24 hours (female group) testify to the absence of the declared correlation of system maximal (■) and minimal (▤) activity (fig.1.28). Analogical situation is also during the analysis of average data of system-daily maximal and minimal activity, which enforced the conclusion: traditional rule Internal Biological Clock with twelve-hour's period has no biophysical support.



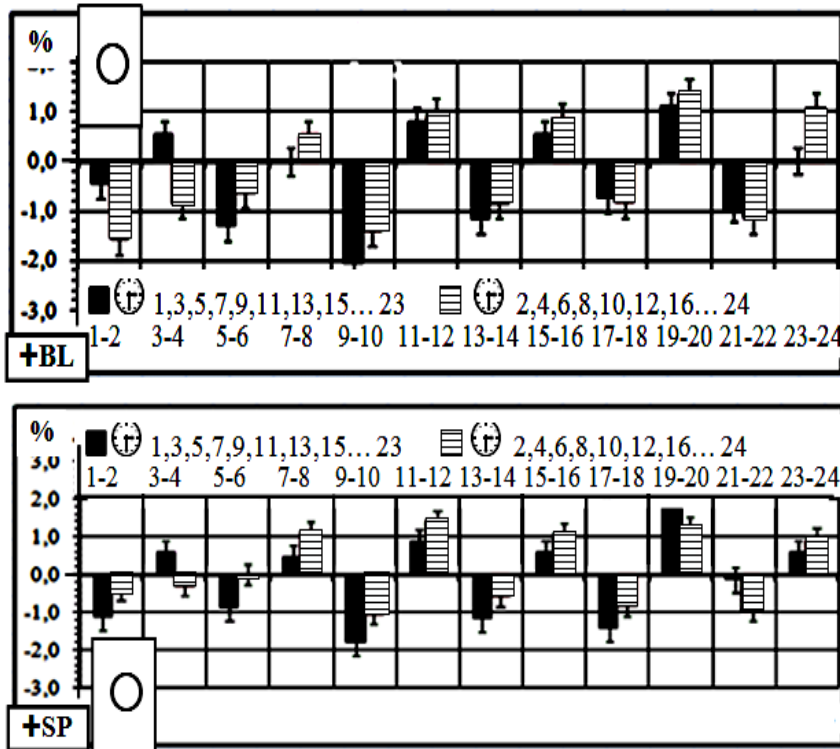
**Рис.1.28** Биофизическая реальность правила **БИОЛОГИЧЕСКИЕ ЧАСЫ**  
**Fig.1.28** Biophysical daily reality of the rule **Biological Clock**

Теперь что касается гипотетического двух часового периода системной активности. Да, он существует, но не в традиционном виде. Его суть представлена четкой последовательностью максимальной и минимальной системной активности по парным и непарным часам суток (табл.1.27;

And now, the issue of hypothetical two-hour period of system activity. Yes, it does exist, but not in traditional form. Its nature is represented by strict sequence of maximal and minimal system activity at even and odd hours of day. (табл.1.27; мал.1.29).



рис.1.29).



*Мал.1.29 Биофизическая реальность феномена двух часовой системной активности каналов BL и SP.*

*Fig.1.29 Biophysical reality of the phenomenon of two-hour systemic activity of the channels BL and SP.*

**Выводы.** Традиционное правило ВНУТРЕННИЕ БИОЛОГИЧЕСКИЕ ЧАСЫ не имеет биофизической поддержки.

**Conclusion.** Traditional rule INTERNAL BIOLOGICAL CLOCK has no biophysical support.

**БИОФИЗИЧЕСКАЯ РЕАЛЬНОСТЬ ТРАДИЦИОННОГО ПРАВИЛА "МАТЬ-СЫН ПО БОЛЬШОМУ КРУГУ"**

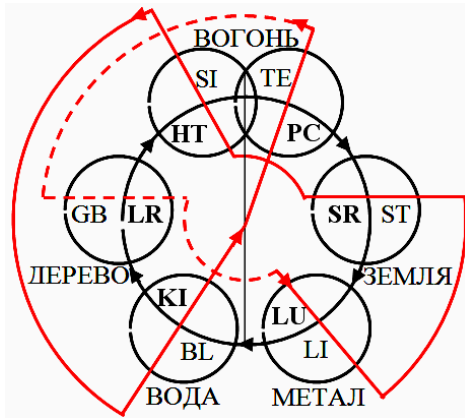
**BIOPHYSICAL REALITY OF THE TRADITIONAL RULE "MOTHER-SON THROUGH THE BIG CYCLE".**

Традиционное правило "МАТЬ-СЫН" по Большому кругу энергетической циркуляции предусматривает следующее: возбуждение любого Главного органа обуславливает угнетение предыдущего [который является его МАТЕРЬЮ] и возбуждение следующего по Кругу [какой является его СЫНОМ] и, наоборот. Другими словами указанное правило должно быть реально для следующих системных комбинаций с Главными органами: LU-LI-ST, LI-ST-SP, ST-SP-HT, SP-HT-SI, HT-SI-BL, SI-BL-KI, BL-KI-PC, KI-PC-TE, PC-TE-GB, TE-GB-LR, GB-LR-LU и LR-LU-LI (рис.

Traditional rule "MOTHER-SON through the Big Cycle of energy circulation" implies the following: excitation of any Main organ conditions oppression of the previous one [which is its Mother] and excitation of the following through the Cycle [which is its Son] and vice versa. In other words the rule must be real for the following system combinations with the Main organs: LU-LI-ST, LI-ST-SP, ST-SP-HT, SP-HT-SI, HT-SI-BL, SI-BL-KI, BL-KI-PC, KI-PC-TE, PC-TE-GB, TE-GB-LR, GB-LR-LU and LR-LU-LI (fig.0.30)...

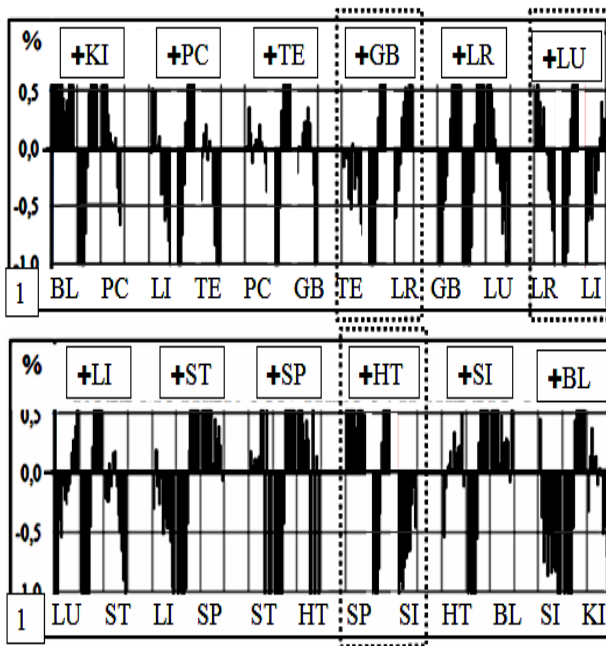


1.30).



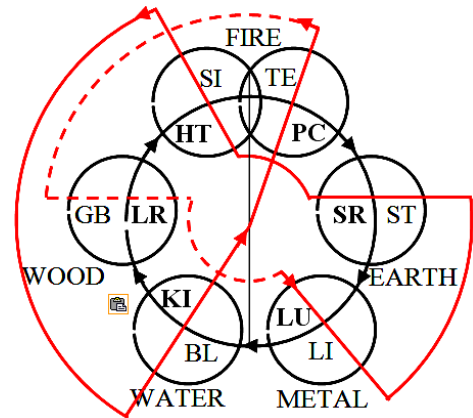
**Рис.1.30** Традиционное правило МАТЬ-СЫН по Большому кругу.

Но биофизическая зависимость указывает на реальность по правилу МАТЬ-СЫН только в трёх комплексах: SP-HT-SI, TE-GB-LR и LR-LU-LI (рис.1.31).



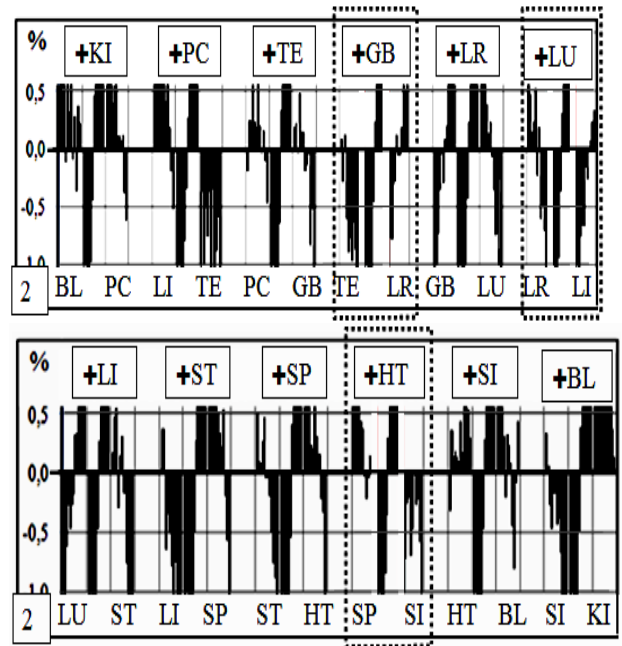
**Рис.1.31** Биофизическая реальность правила МАТЬ-СЫН по Большому кругу [женская (1) и мужская (2) группы].

В некоторых комплексах женской группы (LU-LI-ST, BL-KI-PC, KI-PC-TE, PC-TE-GB) развиваются парадоксальные реакции (ПР), которые не поддерживают традиционное положение. Их топография по Большому



**Fig.1.30** Traditional rule MOTHER-SON through the Big Cycle

But biophysical dependency indicates its reality according to rule Mother-Son only in three complexes: SP-HT-SI, TE-GB-LR and LR-LU-LI (fig.1.31).



**Fig.1.31** Biophysical reality of the rule Mother-Son through the Big Cycle [female (1) and male (2) groups].

In some complexes of female group (LU-LI-ST, BL-KI-PC, KI-PC-TE, PC-TE-GB) develop distinct paradoxical reactions (PR), which in no way support the traditional position. Their topography through the Big Cycle

кругу (рис.1.32) свидетельствует о готовности биологической системы к постоянному контролю за своим динамическим постоянством. С этой позиции традиционная идея направленного энергетического транспорта по Большому кругу теряет логику. Об этом же свидетельствует 78,6% её теоретических погрешностей.

(fig.1.32) testifies to the readiness of biological system to continuous control of its dynamic constancy. According to this position, the traditional idea of directed energy transports through the Big Cycle loses its logic. It is confirmed by 78,6% of its theoretical mistakes ...

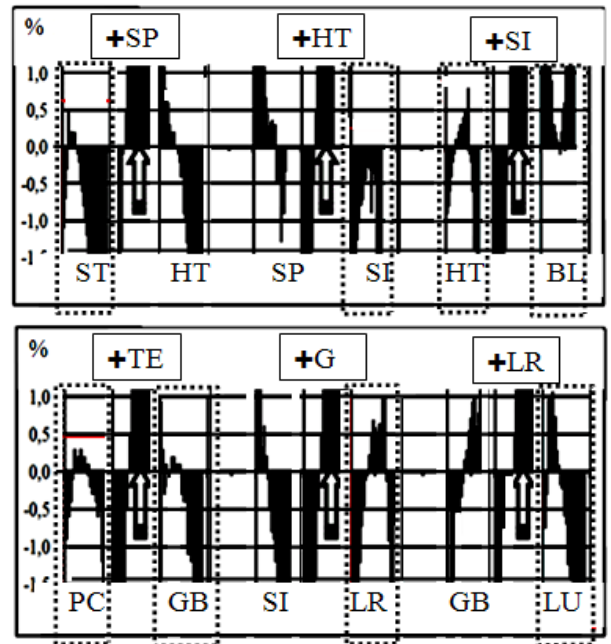
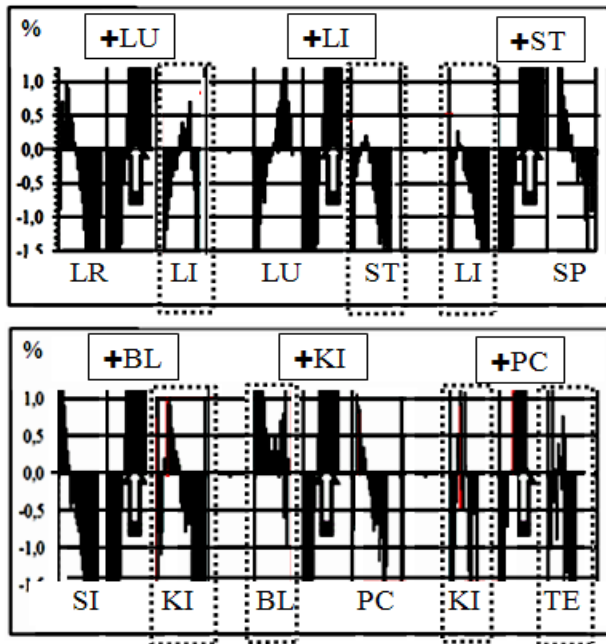


Рис.1.32 Топография ПР по Большому кругу (смешанные группы)

Fig.1.32 Topography of PR through the Big Cycle (mixed groups)

**Выводы.** Традиционный Большой круг не имеет биофизической поддержки...

**Conclusion.** Traditional BIG CYCLE has no biophysical support...

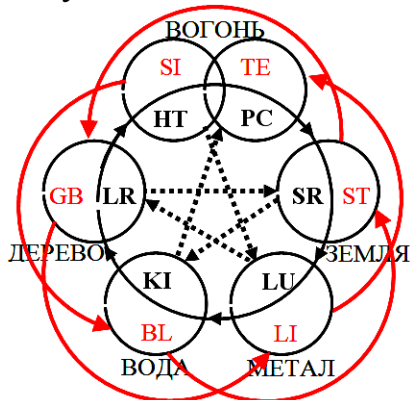
**БИОФИЗИЧЕСКАЯ РЕАЛЬНОСТЬ  
ТРАДИЦИОННОГО ПРАВИЛА  
"ДЕД-ВНУК"**

**BIOPHYSICAL REALITY OF THE  
TRADITIONAL RULE "GRANDFATHER-GRANDSON".**

Традиционное правило "ДЕД-ВНУК (ОТЕЦ-СЫН)" по законам глубинной циркуляции энергии ЧИ предусматривает комплексное использование связей активации, угнетения и противоугнетения в каждой последовательной триаде функциональных систем согласно циклу ЗВЕЗДА и концепции ЧЖАН-ФУ о Главных органах (рис.1.33). При этом

Traditional rule "GRANDFATHER-GRANDSON according to the laws of deep circulation of energy *QI*" involves complex use of connections of activation, oppression and anti oppression in every subsequent triad of functional systems according to the cycle of Star and conception *Zang-fu* about Main organs (fig.1.33). At the same time, peculiarities of hypothetical connections accord-

особенность гипотетических связей по правилу ДЕД-ВНУК указывает на сложную систему взаимозависимости, направленную на постоянный контроль динамического постоянства биологической системы. Но давайте по порядку.



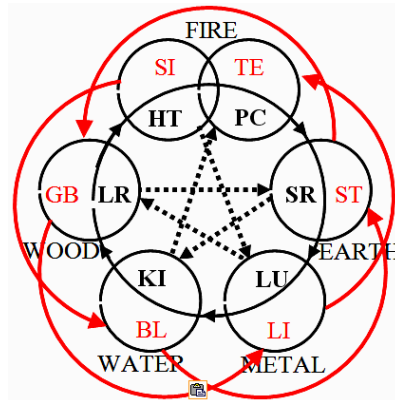
**Рис.1.33** Гипотетическая зависимость по правилу ДЕД-ВНУК (синхронные  $\longrightarrow$  и асинхронные  $\dashrightarrow$  реакции).

Согласно концепции У-СИН указанная взаимозависимость по правилу ДЕД-ВНУК существует в следующих триадах элементов : Вода-дерево-огонь, Дерево-огонь-земля, Огонь-земля-металл, Земля-металл-вода и Металл-вода-дерево.

При этом следует подчеркнуть, что согласно традиционным законам глубинной циркуляции энергии (концепции ЧЖАН-ФУ, ИНЬ-ЯН, ЦЗИН-ЛО) указанные взаимосвязи существуют отдельно между органами (системами) ИНЬ и ЯН.

Соответственно концепции ЧЖАН-ФУ комплексные триады формируют следующие Главные органы. В системе группы ЯН это **BL-GB-SI**, **GB-SI-TE**, **SI-TE-ST**, **TE-ST-LI**, **ST-LI-BL** и **LI-BL-GB**. В системе группы ИНЬ это **SP-LU-KI**, **LU-KI-LR**, **KI-LR-HT**, **LR-HT-PC**, **HT-PC-SP** и **PC-SP-LU**. При этом напомним, что тра-

ing to the rule Grandfather-Grandson indicate a complex system of interdependency, which is directed at continuous control over dynamic constancy of biological system. Let us study it step-by-step...



**Fig.1.33** Hypothetical dependency according to the rule GRANDFATHER-GRANDSON (synchronous  $\longrightarrow$ , asynchronous  $\dashrightarrow$  reaction).

According to the conception *WU XING*, the mentioned interdependency according to the rule Grandfather-Grandson exists in the following triads of elements: WATER-Wood-Fire, WOOD-Fire-Earth, FIRE-Earth-Metal, EARTH-Metal-Water and METAL-Water-Wood.

It should be noted, that according to the traditional laws of deep energy circulation (conceptions Zang-fu, yin-yang, Jing Luo) the interconnections exist separately between organs (systems) yin-yang.

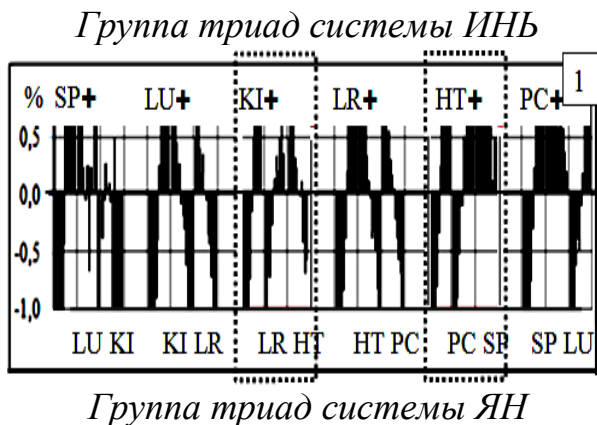
According to the conception *Zhang-fu* triads are formed by the following Main organs. In system of group *yang* are **BL-GB-SI**, **GB-SI-TE**, **SI-TE-ST**, **TE-ST-LI**, **ST-LI-BL** and **LI-BL-GB**. In the system of group *yin* are **SP-LU-KI**, **LU-KI-LR**, **KI-LR-HT**, **LR-HT-PC**, **HT-PC-SP** and **PC-SP-LU**. At the same time we remind, that traditional rule in-

диционное правило предусматривает кроме двух противоположных влияний наличие парадоксального действия по правилу "противоугнетение" (см. цикл ЗВЕЗДА, концепция У-СИН)...

Рассмотрим биофизическую реальность традиционного правила "Дед-Внук (Отец-Сын) по отношению к активности ДЕДА (триады SP+LU KI, LU+KI LR, KI+LR HT, LR+HT PC, HT+PC - SP, PC+SP LU, ST+LI BL, LU+LI GB, BL+GB SI, GB+SI TE, SI+TE ST и TE+ST LI).

По законам глубинной циркуляции энергии ЧИ (разнонаправленное влияние) его возбуждение обуславливает активацию СЫНА и угнетение ВНУКА. Однако в реальности мы имеем негативный результат: 75% несоответствия традиционному прогнозу (рис.1.34).

Только в триадах KI+ LR HT, HT+ PC SP и относительно SI+ TE ST системная зависимость не противоречит традиционному правилу. При этом обращает на себя внимание следующее: ожидаемая синхронная зависимость возбуждения на СЫНА (по кругу) оказывается асинхронной (угнетением); асинхронное (деструктивное) влияние на ВНУКА в триадах PC+SP LU и TE+ST LI оказывается синхронным.

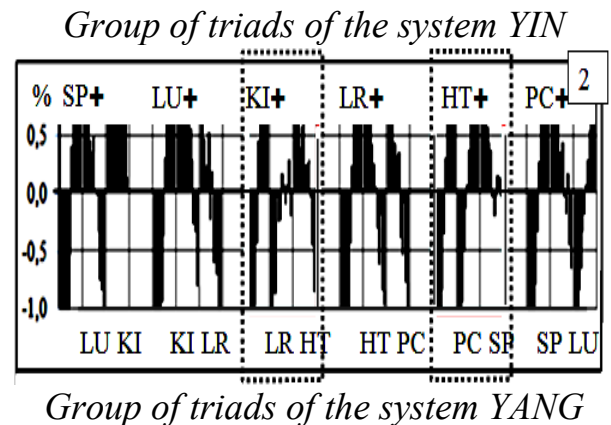


volves, except for two opposite influences, presence of paradoxical action "anti oppression" (see Star cycle, conception *Wu Xing*)...

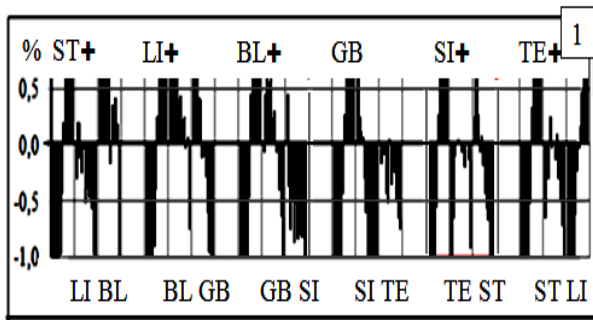
Let us have a look at biophysical reality of the traditional rule "Grandfather-Grandson" (Father-Son) in relation to the activity of Grandfather (triads SP+LU KI, LU+KI LR, KI+LR HT, LR+HT PC, HT+PC-SP, PC+SP LU, ST+LI BL, LU+LI GB, BL+GB SI, GB+SI TE, SI+TE ST and TE+ST LI).

According to the laws of deep circulation of energy *QI* (double influence) its excitation conditions activation of Son and oppression of Grandson. However, in reality we already have expected negative result – 75% incongruousness in male and female groups (fig.1.34).

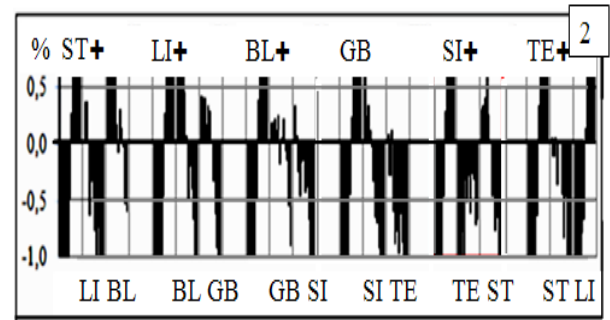
Only in the triads KI+ LR HT, HT+ PC SP and relatively in SI+ TE ST system dependency does not contradict traditional rule. At the same time: expected synchronous influence of excitation (through the Cycle on Son) appears to be asynchronous (oppression); asynchronous (destructive) influence on Grandson in the triads PC+SP LU and TE+ST LI appears to be synchronous...







**Рис.1.34** Биофизическая реальность влияния возбуждения ведущей системы ДЕД [женская (1) и мужская (2) группы].

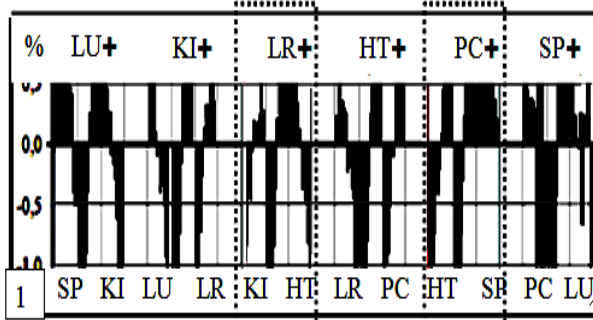


**Fig. 1.34** Biophysical reality of influence during excitation of the leading system Grandfather [female (1) and male (2) groups].

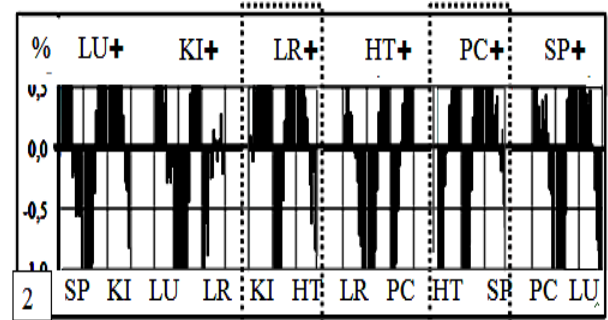
Рассмотрим зависимость в триадах по отношению к гипотетическому возбуждению СЫНА (триады SP (LU+) KI, LU (KI+)LR, KI(LR+)HT, LR(HT+)PC, HT(PC+)SP, PC(SP+) LU, ST(LI+) BL, LU(LI+)GB, BL (GB+)SI, GB(SI+) TE, SI(TE+)ST и TE(ST+)LI; рис. 1.35).

Let us have a look at the situation within the triads in relation to hypothetically excited Son (triads SP(LU+)KI, LU (KI+)LR, KI(LR+)HT, LR(HT+)PC, HT(PC+) SP, PC(SP+)LU, ST(LI+)BL, LU (LI+)GB, BL(GB+)SI, GB(SI+)TE, SI(TE+)ST и TE(ST+)LI; fig.1.35).

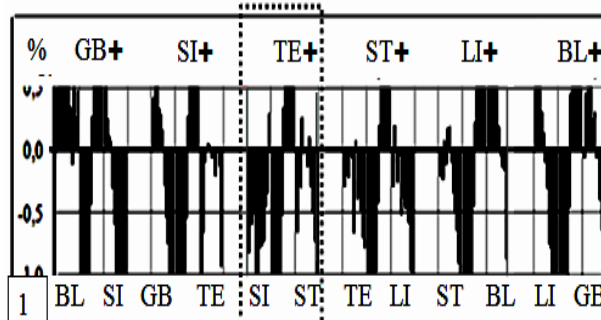
*Группа триад системы ИНЬ*



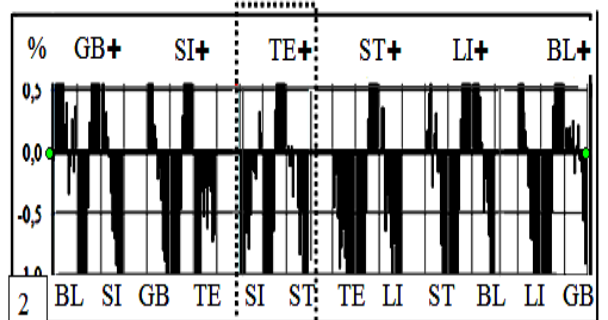
*Group of triads of the system YIN*



*Группа триад системы ЯН*



*Group of triads of the system YANG*



**Рис.1.35** Биофизическая реальность зависимости при возбуждении системы СЫН.

**Fig.1.35** Biophysical reality of the dependency during excitation of the system Son.

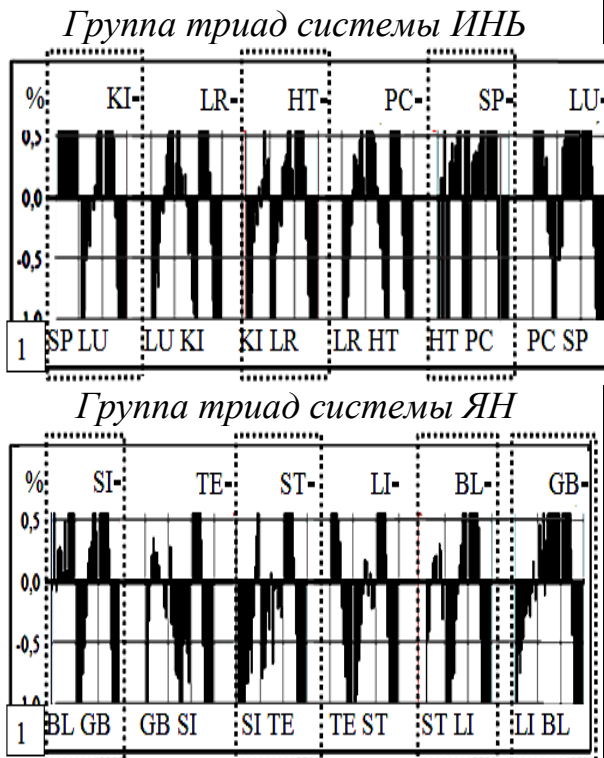
В этой ситуации 75% случаев традиционно комбинированных триад биофизически не поддержи-

In this situation, 75% of cases of traditionally combined triads do not support biophysically the canonical



вают канонические положения. Гипотетическая зависимость отмечена только в трех комплексах KI(+LR)HT, HT(+PC)SP, SI(+TE)ST, что свидетельствует о реальности других правил зависимости.

Теперь рассмотрим ситуацию в триадах по отношению к гипотетически угнетённому ВНУКУ (триады SP LU(-KI), LU KI(-LR), KI LR(-HT), LR HT(-PC), HT PC(-SP), PC SP(-LU), ST LI(-BL), LU LI(-GB), BL GB(-SI), GB SI(-TE), SI TE(-ST) и TE ST(-LI); рис.1.36).



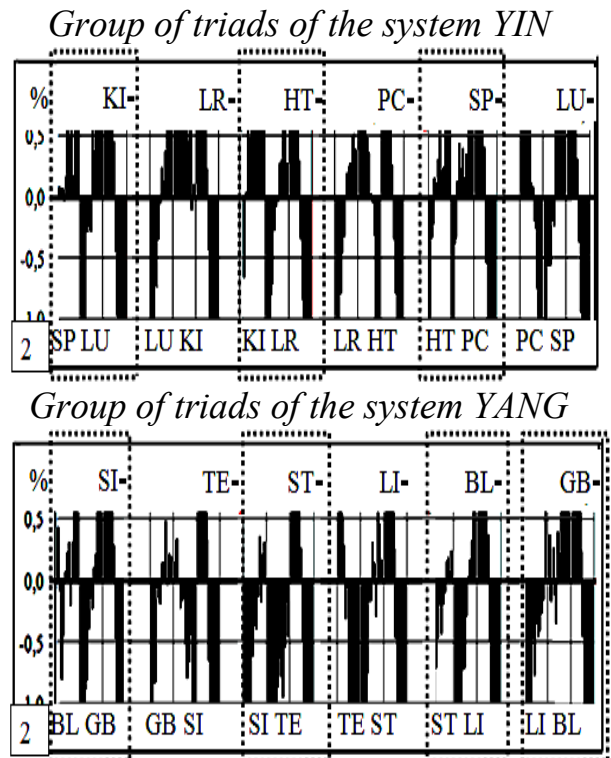
**Рис.1.36** Биофизическая реальность зависимости при угнетении системы ВНУК.

В этой ситуации 58,3% случаев традиционно комбинированных триад, наоборот, свидетельствуют о реальности гипотетической зависимости. Но на фоне выше приведенного это опять же свидетельствует о реальности других правил биофизической зависимости.

Нам остается рассмотреть тради-

positions. Hypothetical dependency is noticed only within three complexes KI(+LR)HT, HT(+PC)SP, SI(+TE)ST, which testifies to the reality of other rules of dependency...

Let us have a look at the situation within the triads in relation to hypothetically oppressed Grandson ((triads SP LU (-KI), LU KI (-LR), KI LR (-HT), LR HT (-PC), HT PC (-SP), PC SP (-LU), ST LI (-BL), LU LI (-GB), BL GB (-SI), GB SI (-TE), SI TE (-ST) и TE ST (-LI); fig.1.36).

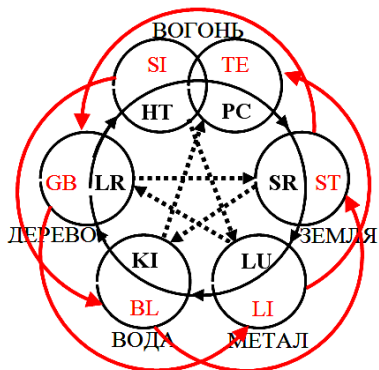


**Fig.1.36** Biophysical reality of the dependency during oppression of the system Grandson.

In this situation 58,3% of cases of traditionally combined triads, on the contrary, testify to the reality of hypothetical traditional dependency. Taking into account all above, it is again evolves the idea about the reality of other rules of biophysical dependency...

The only thing that left is to observe

ционное правило "противоугнетение". Напомним, что зависимость Пяти элементов (рис.1.37) проявляется в пяти основных направлениях: активация (生 шэн), угнетение (克 кэ), избыточное угнетение (乘 чэн), противоугнетение (侮 у) и нарушение взаимодействия по принципу СЫН-МАТЬ (子母相及)".

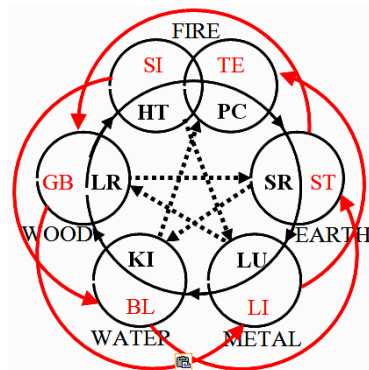


**Рис.1.37** Традиционное правило "противоугнетения"

Чрезмерное угнетение (乘) идёт обычным путём, но, в отличие от него, является патологическим и обуславливает реакцию "противоугнетения" (侮). Согласно традиционной теории, последняя направлена на активацию Элемента угнетения (ДЕД) "угнетённым Элементом" (ВНУК).

Давайте проверим этот вариант. Согласно схемы (рис.1.37), в каждой из системных триад (Ян-группа: **BL-GB-SI**, **GB-SI-TE**, **SI-TE-ST**, **TE-ST-LI**, **ST-LI-BL**, **LI-BL-GB**; Инь-группа: **KI-LR-HT**, **LR-HT-PC**, **HT-PC-SP**, **PC-SP-LU**, **SP-LU-KI**, **LU-KI-LR**) угнетение ВНУКА обуславливает защитное угнетение возбужденного ДЕДА. То есть ожидаемое "противоугнетение" возбужденного ДЕДА должно быть в следующих системных парах ВНУК-ДЕД: Ян-группа: **-BL-ST**, **-GB-LI**, **-SI-BL**, **-TE-BL**, **-ST-GB**, **-LI-SI**, **-LI-TE**; Инь-группа: **-KI-SP**, **-LR-LU**, **-HT-KI**, **-PC-KI**, **-SP-LR**, **-**

the traditional variant of the rule "anti oppression". We should remind, that "interrelation of Five elements (fig. 1.37) appear in five major directions: activation (生 шэн), oppression (克 кэ), surplus oppression (乘 чэн), anti oppression (侮 у) and disorder of interaction according to the principle Son-Mother (子母相及)..."



**Fig.1.37** Traditional rule "anti oppression"

Surplus oppression (乘) goes the ordinary way, but, in opposition to it, is pathological and conditioned the reaction of "anti oppression" (侮). In accordance with traditional theory, the latter is directed at activation of the Element of oppression (Grandfather) "oppressed by the Element" (Grandson).

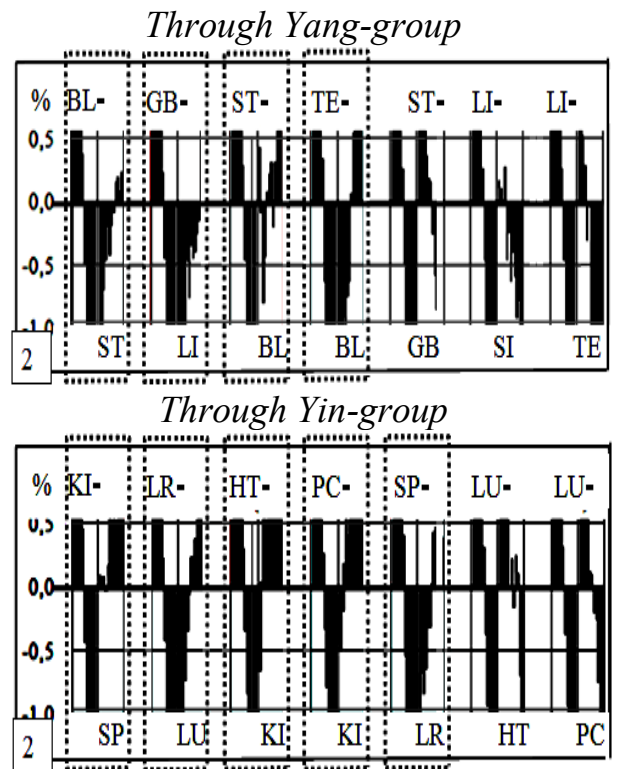
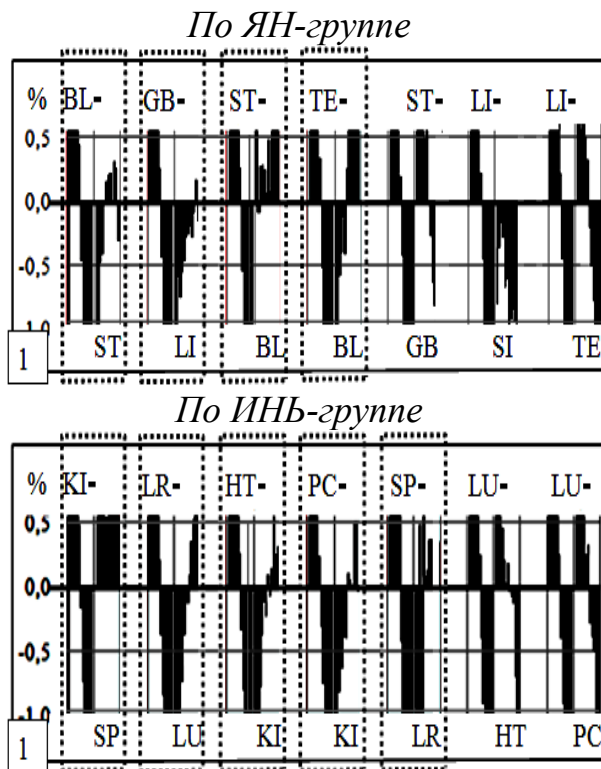
Let us check this variant. According to the scheme (fig.1.37), in every of system triads (Yang-group: **BL-GB-SI**, **GB-SI-TE**, **SI-TE-ST**, **TE-ST-LI**, **ST-LI-BL**, **LI-BL-GB**; Yin-group: **KI-LR-HT**, **LR-HT-PC**, **HT-PC-SP**, **PC-SP-LU**, **SP-LU-KI**, **LU-KI-LR**) oppression of Grandson Conditions protective oppression of excited Grandfather. The point is, that expected "anti oppression" of excited Grandfather must be in the following system pairs Grandson-Grandfather: Yang-group: **-BL-ST**, **-GB-LI**, **-SI-BL**, **-TE-BL**, **-ST-GB**, **-LI-SI**, **-LI-TE**; Yin-group: **-KI-SP**, **-LR-LU**, **-HT-KI**, **-PC-KI**, **-SP-LR**, **-**

LU-HT, -LU-PC.

В реальности мы имеем следующее. Как видно из приведенного материала (рис.1.38, 1.39), в 42,9% случаев традиционно ожидаемый эффект угнетения возбужденного ДЕДА (путем его "противоугнетения" ВНУ-КОМ) не имеет биофизической поддержки.

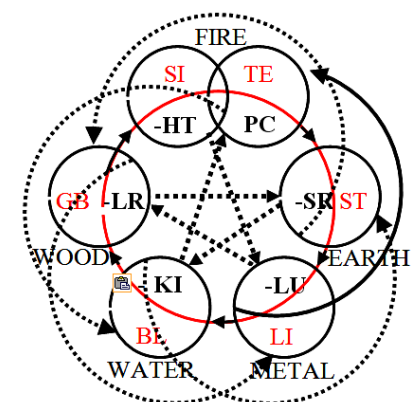
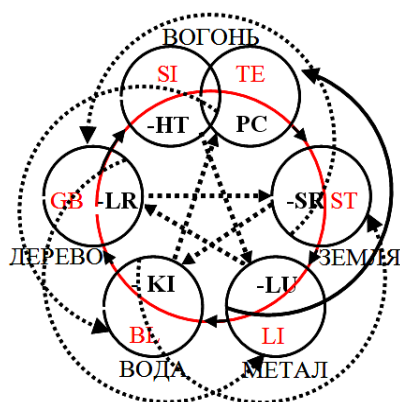
-LU-PC...

In reality we get the following. As it is seen from the presented material (fig.1.38, 1.39), 42,9% of cases, traditionally expected effect of oppression of excited Grandfather (by means of its "anti oppression" by Grandson) does not get biophysical support.



**Рис.1.38** Системная зависимость "противоугнетения" (направление ВНУК-ДЕДА) [женская (1) и мужская (2) группы].

**Fig.1.38** System dependency "anti oppression" (direction Grandson-Grandfather) [female (1) and male (2) groups]



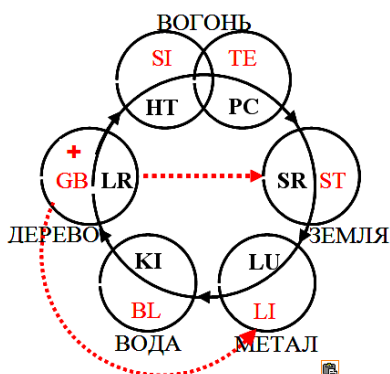
**Рис.1.39** Биофизическая реальность правила "противоугнетение"

**Fig.1.39** Biophysical reality Of the rule "anti oppression"

Но принимая во внимание серьезность профессионального перевода,

Nevertheless, taking into account the seriousness of professional translation,

рассмотрим еще один вариант предложенной традиционной зависимости (рис.1.40).



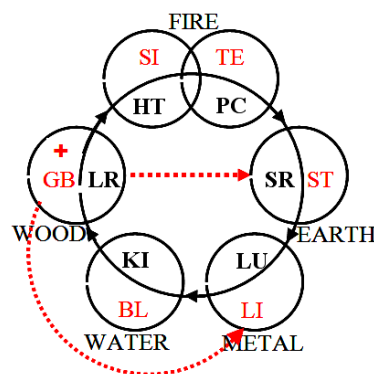
**Рис.1.40** Взаимозависимость пяти Элементов по В.П.Белому (синхронные  $\longrightarrow$  и асинхронные  $\dashrightarrow$  реакции).

Когда один из пяти Элементов избыточно сильный, он в недостаточной мере поддается влиянию Элемента угнетения и начинает сам его угнетать.

Например, в нормальном состоянии МЕТАЛЛ угнетает ДЕРЕВО. Когда ДЕРЕВО излишне сильное, чтобы быть угнетаемым, оно начинает угнетать МЕТАЛЛ (эффект "противоугнетения"; 木侮金). На этой основе, чрезмерное возбуждение систем Элемента ДЕРЕВО должно обусловить угнетение (-) систем Элемента ЗЕМЛЯ и противоугнетение (-) систем Элемента МЕТАЛЛ. То есть ожидаемое следствие должно быть в следующих системных комплексах: Ян-группа (GB+ST-LI-, SI+LI-KI-, TE+LI-KI-, ST+KI-GB-, LI+GB-TE-, LI+GB-SI-, BL+TE-ST-); Инь-группа (LR+SP-LU-, HT+LU-KI-, PC+LU-KI-, SR+KI-LR-, LU+LR-PC-, LU+LR-HT-, KI+PC-SP-).

В реальности (женская и мужская группы) мы его видим только у 28,6% случаев (BL+TE-ST-, SR+KI-LR-, LR+SP-LU-, KI+PC-SP-; рис.1.41). У 71,4% случаев традиционно прогно-

we will observe one more variant of proposed traditional dependency (fig.1.40).



**Fig.1.40** Interrelation of five Elements according V. P. Belousov (synchronous  $\longrightarrow$ , asynchronous  $\dashrightarrow$  reaction).

When one of the five Elements is too strong, it is inadequately affected by the Element of oppression and begins to oppress it itself.

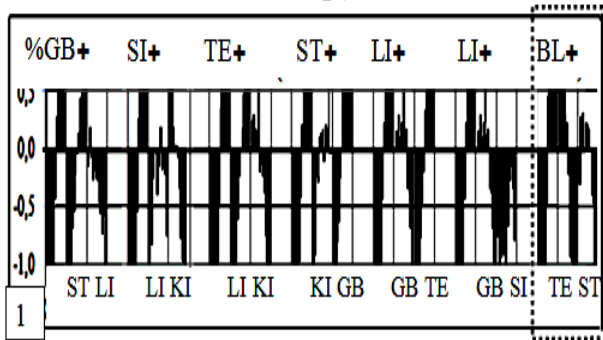
For example, in normal condition Metal oppresses Wood. When Wood is too strong, to be oppressed, it itself starts to oppress Metal (effect of "anti oppression"; 木侮金). On this basis, surplus excitation of the systems of Element Wood must condition oppression (-) of the systems of Element Metal. Thus, expected consequence must occur in the following system complexes: *Yang-group* (GB+ST-LI-, SI+LI-KI-, TE+LI-KI-, ST+KI-GB-, LI+GB-TE-, LI+GB-SI-, BL+TE-ST-); *Yin-group* (LR+SP-LU-, HT+LU-KI-, PC+LU-KI-, SR+KI-LR-, LU+LR-PC-, LU+LR-HT-, KI+PC-SP-)...

In reality (female and male groups) we see it only in 28,6% of cases (BL+TE-ST-, SR+KI-LR-, LR+SP-LU-, KI+PC-SP-; fig.1.41). In 71,4% of cases, traditionally prognosed effects of

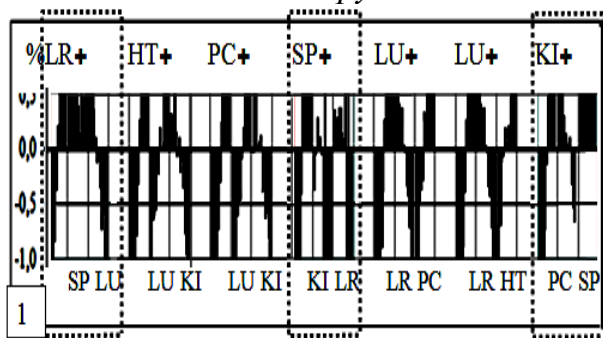


зируемые эффекты угнетения и "противоугнетения" не имеют биофизической поддержки.

*По ЯН-группе*

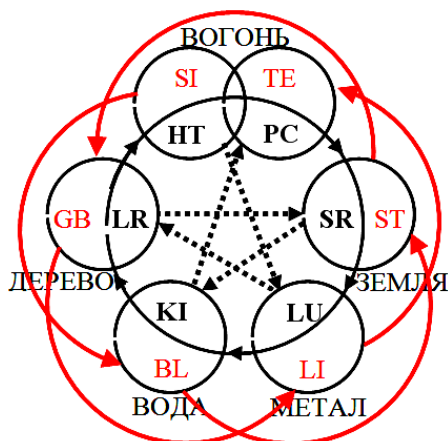


*По ИНЬ-группе*



**Рис.1.41** Взаимозависимость пяти Элементов (по В.П.Белусову).

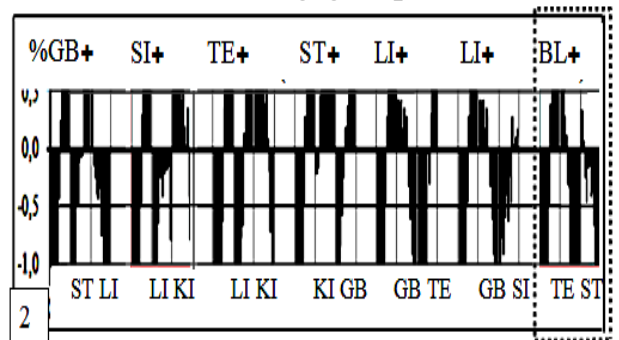
Таким образом традиционная схема гипотетического правила ДЕД-ВНУК (рис.1.42) трансформируется в биофизическую обусловленную форму (рис.1.43)



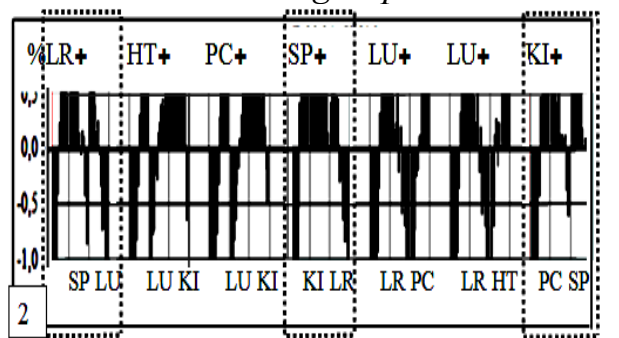
**Рис.1.42** Гипотетическая зависимость по правилу ДЕД-ВНУК (синхронные  $\rightarrow$  и асинхронные  $\dashrightarrow$  реакции).

oppression and "anti oppression" have no biophysical support.

*In Yang-group*

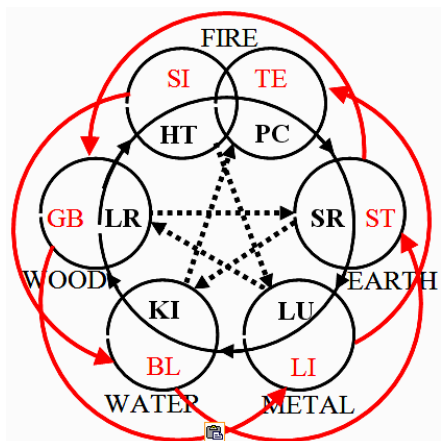


*In Yin-group*



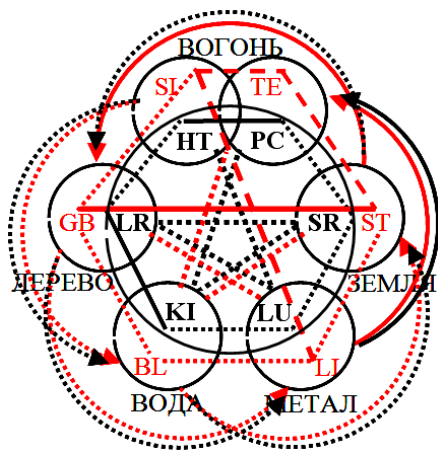
**Fig.1.41** Interrelation of five Elements (according to V.P.Belousov)

Thus, traditional scheme of hypothetical rule Grandfather-Grandson (fig.1.42) transforms into biophysically conditioned form (fig.1.43)



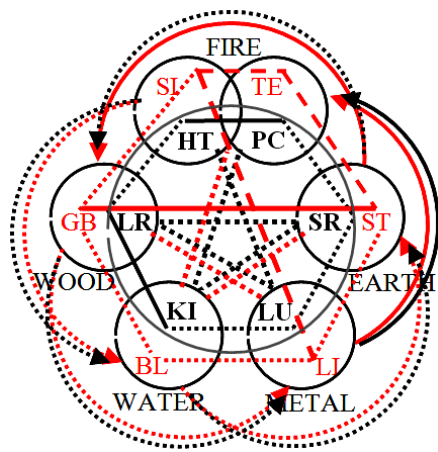
**Fig.1.42** Hypothetical dependency according to the rule GRANDFATHER-GRANDSON (synchronous  $\rightarrow$ , asynchronous  $\dashrightarrow$  reaction).





**Рис.10.43** Реальность биофизической зависимости по правилу ДЕД-ВНУК (синхронные,  $\longrightarrow$  асинхронные  $\cdots\blacktriangleright$  и парадоксальные  $\dashrightarrow$  реакции).

**Выводы.** Традиционное правило ДЕД-ВНУК не имеет биофизической поддержки.



**Fig.10.43** Reality of biophysical dependency according to the rule GRAND-FATHER-GRANDSON (synchronous  $\longrightarrow$ , asynchronous  $\cdots\blacktriangleright$  and paradoxical  $\dashrightarrow$  reaction).

**Conclusion.** Traditional rule Grandfather-Grandson has no biophysical support...

**БИОФИЗИЧЕСКАЯ РЕАЛЬНОСТЬ  
ТРАДИЦИОННОГО ПРАВИЛА  
"ПОЛДЕНЬ-ПОЛНОЧЬ".**

Традиционное правило "ПОЛДЕНЬ-ПОЛНОЧЬ" утверждает следующее: в шести парах функциональных систем (LU-BL, LI-KI, ST-PC, SP-TE, HT-GB и SI-LR; рис. 1.44) существует противоположно направленная во времени зависимость. Другими словами возбуждение (угнетение) любой системы из указанных функциональных пар, через 12 часов обусловит угнетение (возбуждение) зависимой системы. При этом периоды их максимальной и минимальной активности асинхронны во времени.

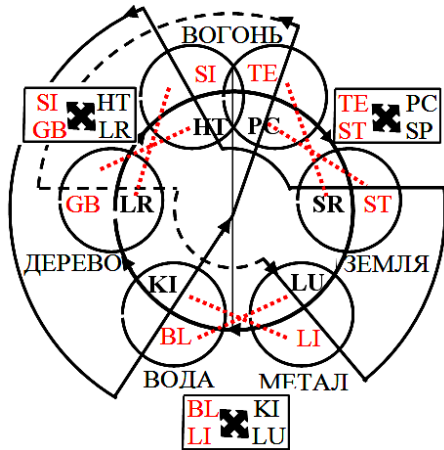
Другими словами период максимальной активности одного из каналов каждой функциональной пары одновременно будет периодом минимальной активности его противоположности. Например, 3-5 часов утра будет периодом максимальной активности Легких (LU) и минималь-

**BIOPHYSICAL REALITY OF THE  
TRADITIONAL RULE  
"MIDDAY – MIDNIGHT".**

Traditional rule "MIDDAY–MIDNIGHT" states the following: in six pairs of functional systems (LU-BL, LI-KI, ST-PC, SP-TE, HT-GB and SI-LR; fig.1.44) exists oppositely directed in time dependency. In other words excitation (oppression) of any system of the mentioned functional pairs, in 12 hours will condition oppression (excitation) of the dependent system. At the same time, periods of their maximal and minimal activity are asynchronous in time.

In other words, period of maximal activity of one of channels of every functional pair will simultaneously be the period of minimal activity of its opposition. For example, from 3 to 5 morning hours will be the time of maximal activity of Lungs (LU) and minimal for Urinary bladder (BL) in the pair

ной для Мочевого пузыря (BL) в паре LU-BL. Схематически практическое значение гипотетического правила заключается в следующем: для угнетения функциональной активности Легких (LU) в 3-5 часов утра, нужно в 15-17 часов предыдущего дня возбудить Мочевой пузырь (BL) и, наоборот.



**Рис.1.44** Традиционное правило ПОЛДЕНЬ-ПОЛНОЧЬ

По аналогии традиционное правило советует использовать положение "Внутренних биологических часов" (табл.1.45).

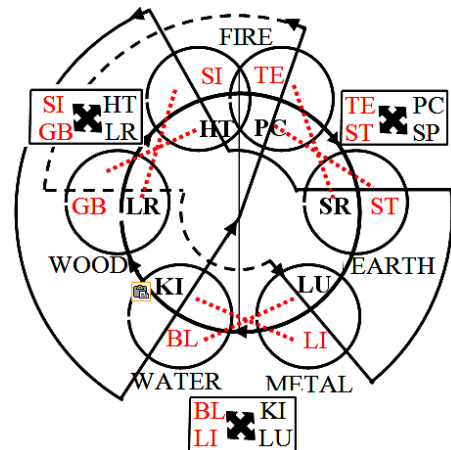
**Таблица 1.45**

АКТИВНІСТЬ ФУНКЦІОНАЛЬНИХ СИСТЕМ (ФС) ПО ГОДИНАМ ДОБИ

ФС	АКТИВНІСТЬ		ФС	АКТИВНІСТЬ	
	макс.	мін.		макс.	мін.
LU	3-7	15-17	BL	15-17	3-5
LI	5-7	17-19	KI	17-19	5-7
ST	7-9	19-21	PC	19-21	7-9
SP	9-11	21-23	TE	21-23	9-11
HT	11-13	23-1	GB	23-1	11-13
SI	13-15	1-3	LR	1-3	13-15

Следует признать гипотетическую привлекательность предложенного. Но в реальности мы имеем следующее: контрастно-противоположная (асинхронная) зависимость каждого комплекса функциональных пар проявляется не через 12 часов, а сразу после возбуждения (угнетения) канала (рис.1.46).

LU-BL. In diagramal form practical meaning of hypothetical rule is the following: for the oppression of functional activity of Lungs (LU) at 3 to 5 hours in the morning, Urinary bladder (BL) must be excited at 15 to 17 hours of the previous day, and vice versa.



**Fig.1.44** Traditional rule MIDDAY – MIDNIGHT

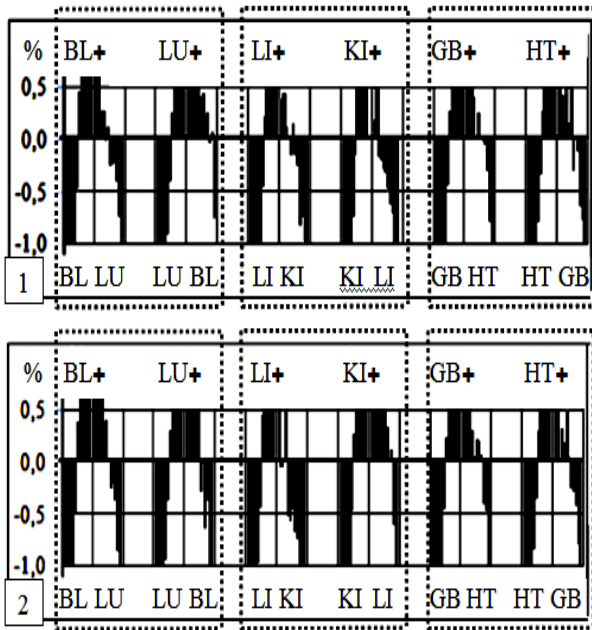
Analogically, traditional rule suggests using the position "Internal biological clock" (tab.1.45).

**Table 1.45**

ACTIVITY OF FUNCTIONAL SYSTEMS (FS) ACCORDING TO DEY HOURS

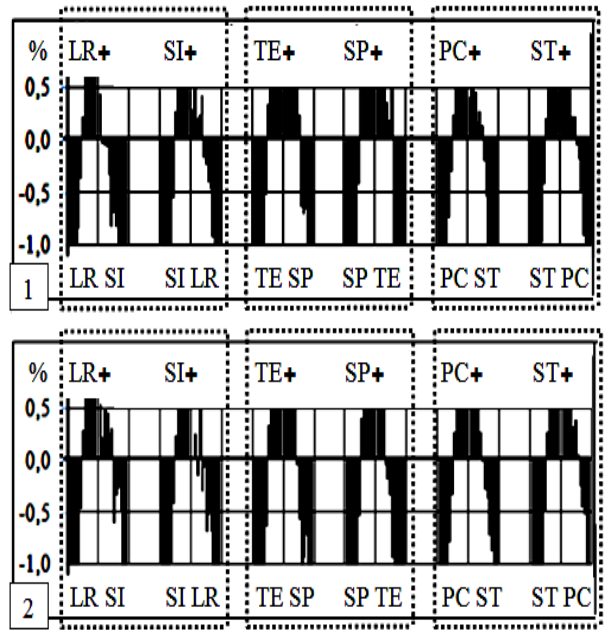
FS	ACTIVITY		FS	ACTIVITY	
	max	min		max	min
LU	3-7	15-17	BL	15-17	3-5
LI	5-7	17-19	KI	17-19	5-7
ST	7-9	19-21	PC	19-21	7-9
SP	9-11	21-23	TE	21-23	9-11
HT	11-13	23-1	GB	23-1	11-13
SI	13-15	1-3	LR	1-3	13-15

We should admit the hypothetical appeal of the proposed. But in reality we have the following: contrast-opposite (asynchronous) dependency of every complex of functional pairs does not appear in 12 hours, just after excitation (oppression) of a channel (fig.1.46).



**Рис.1.46** Биофизическая реальность Традиционного правила ПОЛДЕНЬ-ПОЛНОЧЬ

Возникает резонный вопрос о реальности традиционно обязательного асинхронного угнетения каналов через 12 часов? Наши суточные наблюдения свидетельствуют, что у 75% случаев традиционно ожидаемые последствия отсутствуют (табл.1.47).



**Fig.1.46** Biophysical reality of the traditional rule MIDDAY-MIDNIGHT

Interesting question evolves about the reality of traditional obligatory asynchronous oppression of channels in 12 hours. Our daily observations testify, that in 75% of cases traditionally expected consequences are absent. (tab.1.47).

**Таблица 1.47 Table 1.47**

Периоды максимальной и минимальной активности функциональных систем

**Periods of maximal and minimal activity of functional systems** (Б-21 04=AS-558)

HOURS	BL	LU	LI	KI	GB	HT	SI	LR	TE	SP	PC	ST
1-3	-0,48	-0,18	0,06	0,42	0,41	-0,33	<b>-0,52</b>	<b>0,16</b>	-0,08	0,19	0,09	0,33
3-5	<b>-1,26</b>	<b>-0,62</b>	1,29	0,26	1,13	0,00	-0,94	0,15	1,19	-1,31	-0,22	0,42
5-7	-0,48	-0,75	<b>0,71</b>	<b>-0,13</b>	1,07	0,02	-0,99	0,27	0,86	-0,75	-0,12	0,36
7-9	0,11	-0,82	-0,09	0,22	1,12	0,02	-1,15	0,11	0,43	-0,09	<b>-0,09</b>	<b>0,30</b>
9-11	-0,06	-0,67	-0,45	0,29	0,60	0,01	-1,12	0,43	<b>0,14</b>	<b>0,49</b>	-0,29	0,73
11-13	-1,00	-0,62	-0,19	0,43	<b>0,76</b>	<b>0,23</b>	-1,05	0,67	0,40	-0,39	-0,38	1,24
13-15	-1,02	-0,51	-0,04	0,40	0,70	-0,21	<b>-0,92</b>	<b>1,04</b>	0,64	-0,52	-0,35	0,91
15-17	<b>-0,18</b>	<b>-0,28</b>	-0,72	0,33	0,61	0,11	-0,99	0,81	-0,26	0,35	-0,32	0,61
17-19	-0,55	-0,33	<b>-0,34</b>	<b>0,45</b>	0,67	0,32	-1,00	0,57	0,15	-0,07	-0,23	0,45
19-21	-0,65	-0,38	-0,26	0,31	0,90	0,58	-0,96	0,39	0,04	-0,25	<b>-0,06</b>	<b>0,38</b>
21-23	-0,65	-0,18	-0,24	0,50	0,59	0,27	-0,72	0,44	<b>0,13</b>	<b>-0,23</b>	-0,11	0,29
23-1	-0,57	-0,82	0,48	0,54	<b>0,94</b>	<b>0,16</b>	-1,11	0,32	0,54	-0,65	-0,34	0,58

**Выводы.** Традиционное правило ПОЛДЕНЬ-ПОЛНОЧЬ не имеет биофизической поддержки...

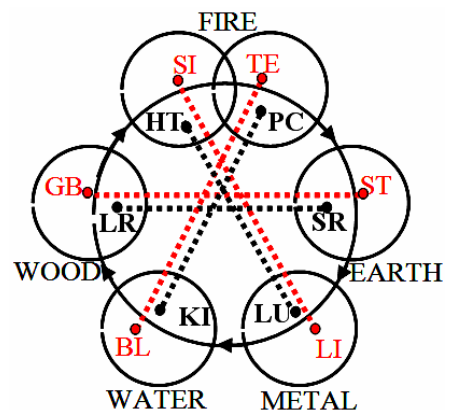
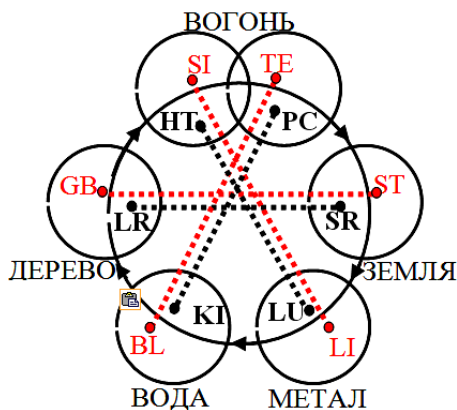
**Conclusion.** Traditional rule MIDDAY-MIDNIGHT has no biophysical support...

**БИОФИЗИЧЕСКАЯ РЕАЛЬНОСТЬ  
ТРАДИЦИОННОГО ПРАВИЛА  
"ЛЕВЫЙ-ПРАВЫЙ (МУЖЧИНА-  
ЖЕНЩИНА)".**

**BIOPHYSICAL REALITY OF THE TRA-  
DITIONAL RULE "LEFT-RIGHT (MAN-  
WOMAN)".**

Считается, что шесть пар каналов левой (мужской, ЯН) и правой (женской, ИНЬ) половин тела находятся в постоянной контрастно-противоположной (асинхронной) зависимости: LI-SI, ST-GB, BL-TE (ЯН группа) и LU-HT, SP-LR, PC-KI (ИНЬ группа). Практически это значит, что активация канала LU (легкие) одновременно обуславливает угнетение канала HT (сердце) и, наоборот, а активация канала LI (толстый кишечник) – угнетение SI (тонкий кишечник), и наоборот (рис.1.48).

It is considered that six pairs of channels of left (male, *Yang*) and right (female, *Yin*) parts of body are in continuous contrast-opposite (asynchronous) dependency: **LI-SI, ST-GB, BL-TE** (*Yang* group) and **LU-HT, SP-LR, PC-KI** (*Yin* group). It practically means, that activation of the channel LU (Lungs) simultaneously conditions oppression of the channel HT (Heart) and vice versa, activation of the channel LI (Large intestine) – oppression of the channel SI (Small intestine), and vice versa (fig.1.48).



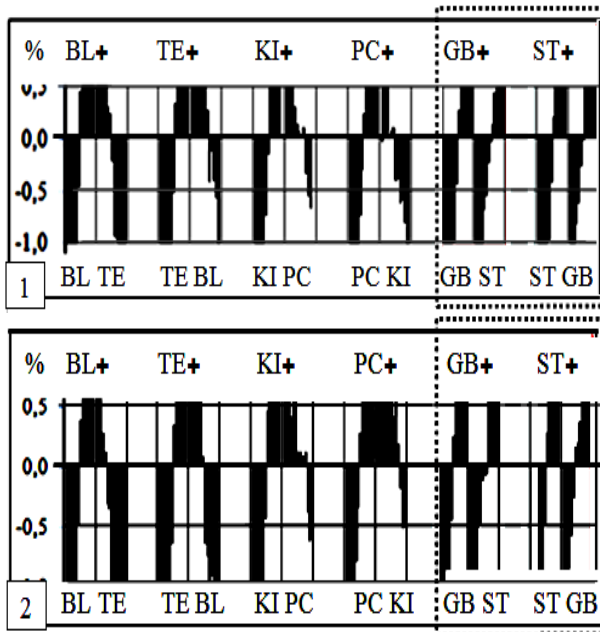
**Рис.1.48** Традиционное правило ЛЕВЫЙ-ПРАВЫЙ (синхронные → и асинхронные ...→ реакции).

**Fig.1.48** Traditional rule LEFT-RIGHT (synchronous → and ...→ asynchronous reaction).

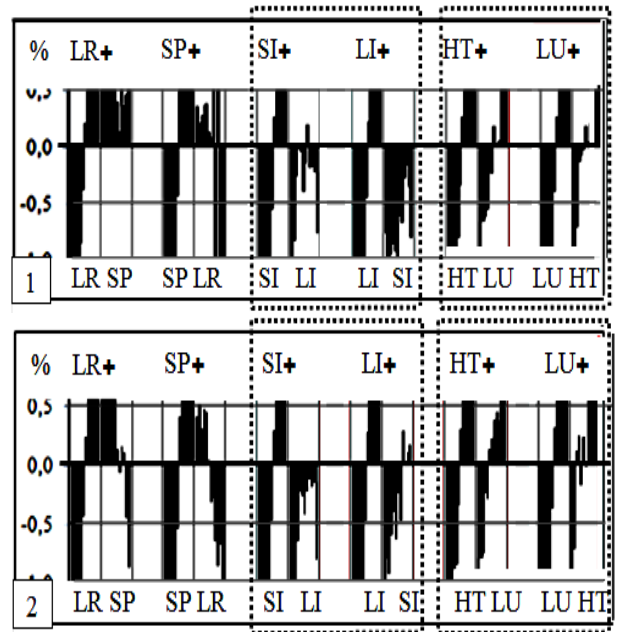
Биофизическая реальность опять вносит существенную коррекцию в традиционное положение: гипотетическое влияние согласно правилу ЛЕВЫЙ-ПРАВЫЙ (МУЖЧИНА-ЖЕНЩИНА) в 50% рассмотренных комбинаций (женская и мужская группы) не работает (рис.1.49), а традиционная схема приобретает другую форму (рис.1.50).

Biophysical reality again brings significant correction to traditional position: hypothetical influence according to the rule LEFT-RIGHT (MAN-WOMAN) in 50% of observed combinations (female and male groups) does not work (fig.1.49), and traditional scheme acquires another form (fig.1.50).

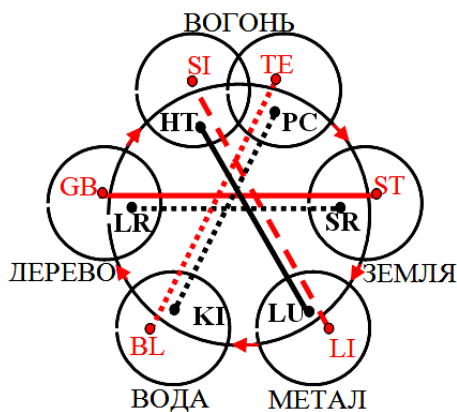




**Рис.1.49** Биофизическая реальность Традиционного правила ЛЕВЫЙ-ПРАВЫЙ

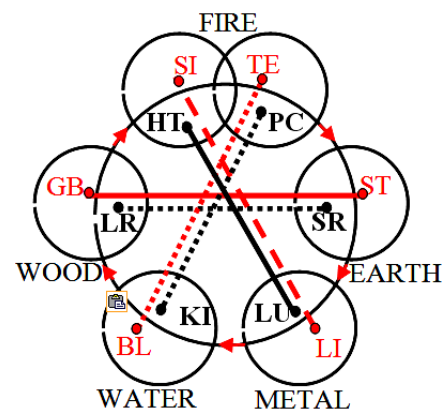


**Fig.1.49** Biophysical reality of the traditional rule LEFT-RIGHT



**Рис.1.50** Реальность традиционного правила ЛЕВЫЙ-ПРАВЫЙ (синхронные, —> асинхронные - - -> и парадоксальные - -> реакции).

**Выводы.** Традиционное правило ЛЕВЫЙ-ПРАВЫЙ (МУЖЧИНА-ЖЕНЩИНА) не имеет биофизической поддержки.



**Fig.1.50** Scheme of reality of the traditional rule LEFT-RIGHT (synchronous, —> asynchronous - - -> and paradoxical - -> reactions).

**Conclusion.** Traditional rule LEFT-RIGHT (MAN-WOMAN) has no biophysical support...

<b>БИОФИЗИЧЕСКАЯ РЕАЛЬНОСТЬ ТРАДИЦИОННОГО ПРАВИЛА "СПАРЕННЫЕ КАНАЛЫ".</b>	<b>BIOPHYSICAL REALITY OF THE TRADITIONAL RULE "PAIRED CHANNELS".</b>
---	---

Это функциональные ИНЬ-ЯН комплексы в виде спаренных системных групп LU-LI, SP-ST, PC-TE, LR-GB и KI-BL (рис.1.51).

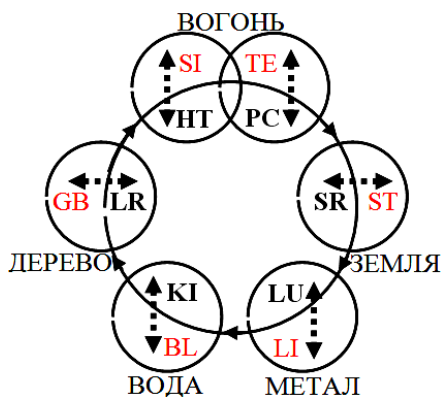
Согласно правилу, спецификой их активности являются взаимозависимые асинхронные реакции, длитель-

These are functional Yin-Yang complexes in the form of paired system groups LU-LI, SP-ST, PC-TE, LR-GB and KI-BL (fig.1.51).

According to the rule, the specifics of their activity are interdependent asynchronous reactions, duration of

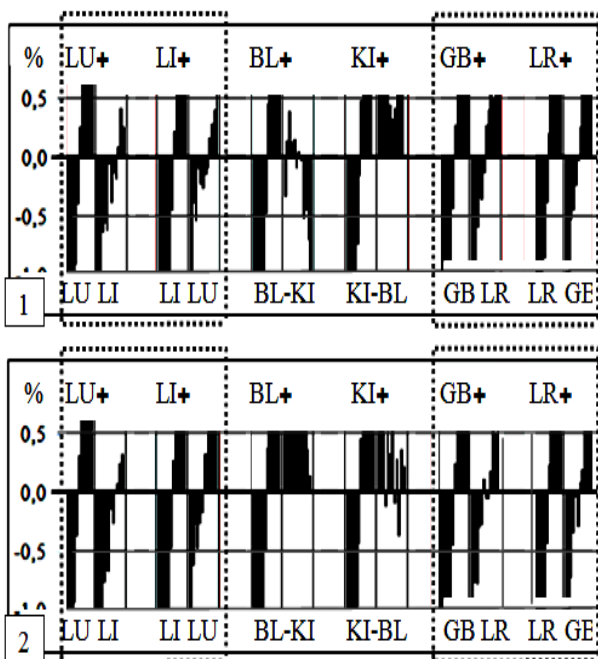


ность которых в каждом системном Элементе имеет двух часовую задержку по правилу "Внутренние биологические часы" (периоды максимальной и минимальной активности).



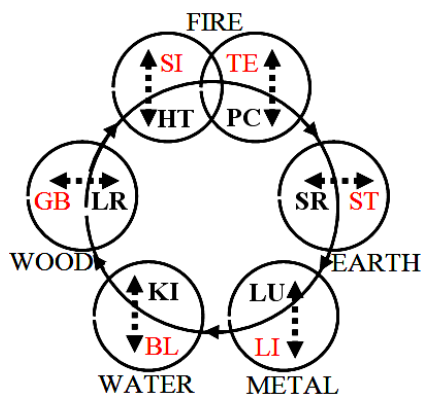
**Рис.1.51** Традиционное правило СПАРЕННЫЕ КАНАЛЫ

Биофизическая реальность гипотетического правила свидетельствует: 83,3% гипотетической зависимости в женской группе и 50% случаев в мужской не имеет биофизической поддержки при разовых наблюдениях (мал.1.52), а биофизическую реальность традиционного правила СПАРЕННЫЕ КАНАЛЫ отображает рис. 1.53 и таблица 1.54.



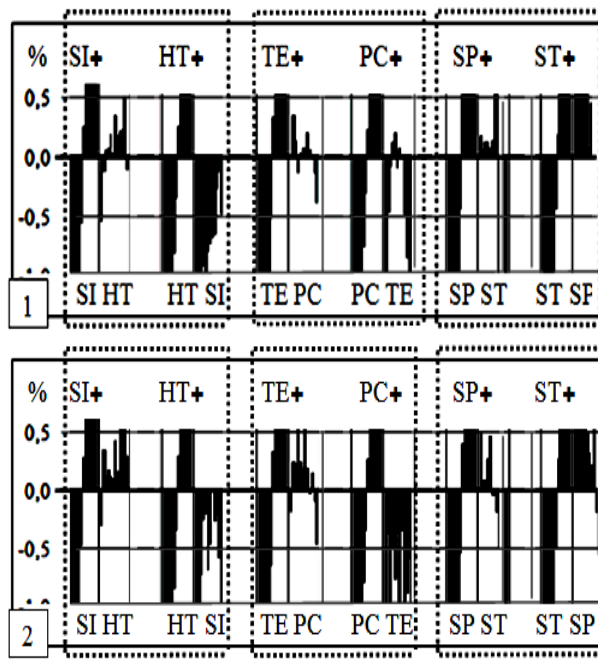
**Рис.1.52** Биофизическая реальность правила СПАРЕННЫЕ КАНАЛЫ

which in every system element has two-hour's delay according to the rule "Internal biological clock" (periods of maximal and minimal activity).

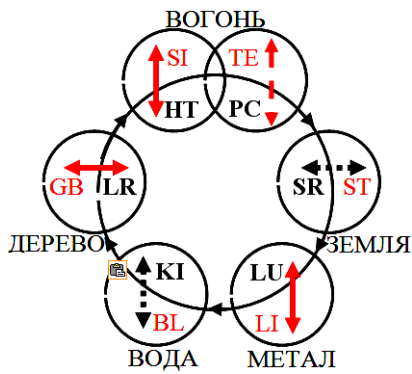


**Fig.1.51** Traditional rule PAIRED CHANNELS

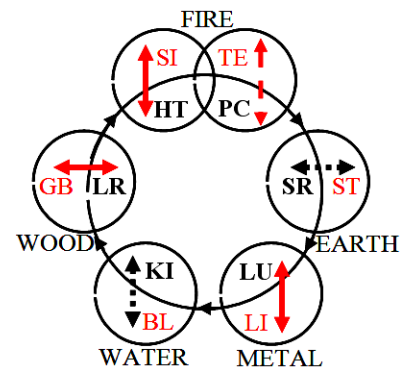
Biophysical reality of hypothetical rule testifies: 83,3% of hypothetical dependency in female group and 50% of cases in male group have no biophysical support during single observations (fig.1.52), and biophysical reality of the traditional rule PAIRED-CHANNELS is reflected by fig.1.53 and table 1.54.



**Fig.10.52** Biophysical reality of the traditional rule PAIRED CHANNELS



**Рис.1.53** Биофизическая реальность правила СПАРЕННЫЕ КАНАЛЫ (синхронные,  $\longrightarrow$  асинхронни  $\cdots\blacktriangleright$  и парадоксальные  $- - \blacktriangleright$ реакции).



**Fig.1.53** Biophysical reality of the rule PAIRED CHANNELS (synchronous  $\longrightarrow$ , asynchronous  $\cdots\blacktriangleright$  and paradoxical  $- - \blacktriangleright$ reaction).

**Таблица 1.54 Table 1.54**

Спаренные каналы – биофизическая реальность суточной активности

HOURS	PAIRED CHANNELS - DAILY ACTIVITY (E-21 04=CD-543)											
	LU	LI	ST	SP	HT	SI	BL	KI	PC	TE	LR	GB
1	-1,43	0,03	1,40	-0,27	-0,04	-1,90	0,25	0,30	-0,58	0,44	0,45	1,40
2	0,44	-1,81	-0,29	3,65	-0,92	0,52	2,67	-0,39	0,13	-2,74	-0,25	-1,00
3	-0,62	0,51	-0,01	-0,18	-0,24	-1,57	-0,57	-0,06	0,15	1,17	0,41	1,07
4	-2,15	-0,43	0,57	3,47	-1,03	-2,33	2,30	-0,51	-1,19	-0,44	1,42	0,37
5	-1,30	1,15	0,52	-0,97	0,30	-1,41	-1,22	-0,05	-0,09	1,65	0,11	1,37
6	-1,66	-0,95	-1,22	3,11	-0,90	-1,85	3,19	-1,19	0,37	-0,31	1,43	0,11
7	-1,30	0,50	1,19	-0,42	0,08	-1,59	-0,57	-0,34	-0,42	0,93	0,29	1,68
8	-1,50	-0,59	0,12	0,95	-0,48	-1,33	1,37	-0,63	-0,50	0,93	0,38	1,36
9	-0,92	0,17	0,52	-0,36	0,51	-1,34	-0,06	-0,08	0,01	0,39	0,13	1,04
10	-1,13	-0,72	-0,84	4,34	-0,12	-1,61	2,64	-0,89	0,23	-0,37	-0,80	-0,61
11	-1,24	-0,35	1,10	0,74	0,10	-1,62	0,06	-0,01	-0,46	0,21	0,16	1,45
12	-1,33	-1,07	2,07	1,87	-0,33	-2,51	1,99	0,04	-1,10	-1,28	1,68	-0,01
13	-0,88	0,14	0,57	0,53	0,04	-1,29	-0,76	0,01	-0,41	0,50	0,59	1,04
14	-0,79	-0,01	0,65	0,66	-0,24	-1,40	0,54	1,05	-0,45	-0,08	0,79	-0,64
15	-1,08	-0,39	1,00	0,72	-0,68	-1,41	-0,44	0,25	-0,28	0,46	1,02	0,91
16	-0,46	-1,71	0,36	2,10	-0,76	-1,77	2,11	0,11	-0,48	-1,12	1,28	0,38
17	-0,72	-0,31	0,54	0,21	0,28	-1,87	-0,71	-0,09	-0,28	0,83	1,03	1,17
18	-0,69	-0,89	-0,45	1,77	0,27	-1,93	1,31	0,18	-0,48	0,01	0,17	0,77
19	-1,10	-0,82	0,84	0,73	0,16	-1,90	0,43	0,12	-0,23	-0,07	0,73	1,15
20	0,16	-1,97	-1,70	3,34	0,24	-0,78	3,10	0,20	0,15	-1,03	-1,02	-0,66
21	-0,85	-0,26	0,66	-0,19	0,47	-1,83	-0,37	0,18	-0,34	0,25	0,72	1,62
22	-0,27	-2,25	-1,56	2,78	-0,28	-1,16	3,99	-0,66	-0,22	-0,33	0,17	-0,16
23	-0,91	-0,09	0,94	-0,23	0,38	-1,28	-0,53	0,19	-0,19	0,36	0,49	0,92
24	-1,22	-0,49	-0,92	2,21	-0,31	-1,09	2,83	-0,47	-0,34	-0,57	-0,13	0,50

Периоды максимальной системной активности выделены красным, а минимальной – чёрным.

**Выводы.** Традиционное правило СПАРЕННЫЕ КАНАЛЫ не имеет биофизической поддержки...

Periods of maximal system activity are in red, and minimal – in black.

**Conclusion.** Traditional rule PAIRED CHANNELS has no biophysical support...

**БИОФИЗИЧЕСКАЯ РЕАЛЬНОСТЬ  
ТРАДИЦИОННОГО ПРАВИЛА "ЭНЕР-  
ГЕТИЧЕСКАЯ НАПРАВЛЕННОСТЬ  
КАНАЛОВ".**

**BIOPHYSICAL REALITY OF THE TRA-  
DITIONAL RULE "ENERGY DIREC-  
TION OF CHANNELS".**

Концепция ЦЗИН-ЛЮ утверждает не только реальность "акупунктурных каналов", но и их центростремительную и центробежную энергетическую направленность.

Мы сделали попытку выяснить направленность канальной электропроводимости и его биоэлектрической активности. Имея в виду принципиальность вопроса, наводим технические условия исследования электропроводимости канала.

Параметры тестирующего сигнала (ТС) были оптимальны для графической объективизации: синусоидальная форма, равно переменный, 1В, 2,5 Гц при чувствительности самописца 0,5 В/см и скорости лентопротяжного механизма 1 мм/сек. Перед каждым тестированием на ленте самописца фиксировалась амплитуда ТС, которая принималась за 100%. Электропроводимость акупунктурных зон рассчитывалась в % от величины ТС.

На первом этапе изучения электропроводимости ТС подавали на LU-11 (Шао-шан), а зоны канала тестировали в направлении от LU-10 до LU-3 (центростремительно, против канонической направленности ЧИ; на графике представлено черной линией).

На втором этапе ТС подавали на LU-3 (Тянь-фу), а порядок тестирования был направлен от LU-4 до LU-11 (отвечал канонической центробежной направленности; на графике указано красной линией; рис.1.55).

Как видно из приведенного мате-

Conception JING LUO asserts not only reality of "acupunctural channels", but also their centripetal and centrifugal direction of energy.

We made an attempt to study the direction of channel electro-conductivity and its bioelectric activity. Taking into account the principle character of the issue, we provide technical conditions of the research of electro-conductivity of a channel.

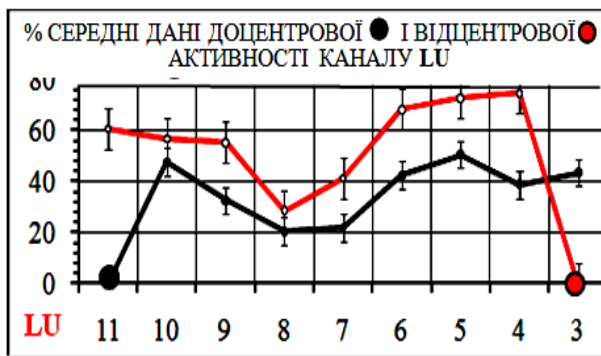
Parameters of testing signal (TS) were optimal for graphical objectivization: sinusoid form, equally variable, 1V, 2,5 Hz with sensitivity of grapher 0,5 V/cm and speed of tape drive 1 mm/sec. Before every test, amplitude of TS was fixed on grapher tape, which was accepted as 100%. Electro conductivity of acupunctural zones was calculated in % from the magnitude of TS.

At the initial stage of examination of electro conductivity, TS was sent to LU-11 (Shao-shang), and zones of channel were tested from LU-10 to LU-3 (centripetal, against canonical direction of *QI* (in graphics is represented by the black line).

At the second stage TS was sent to LU-3 (Tian-fu), and order of testing from LU-4 to LU-11 was due to the canonical direction (centrifugal, in graphics is represented by the red line, (fig.1.55).

As it is seen from the material, expe-

риала, экспериментальные данные биофизически поддерживают каноническое утверждение о центробежной энергетической направленности акупунктурного канала LU (Легкие). В зависимости от искусственной направленности энергоносителей (центростремительно, или центробежно) активность внешней цепи при совпадении традиционного и искусственно созданного направления значительно возрастает. Выявленный феномен свидетельствует о биофизической реальности вентильного механизма, другими словами о реальности центробежной направленности энергоносителей по указанному каналу...

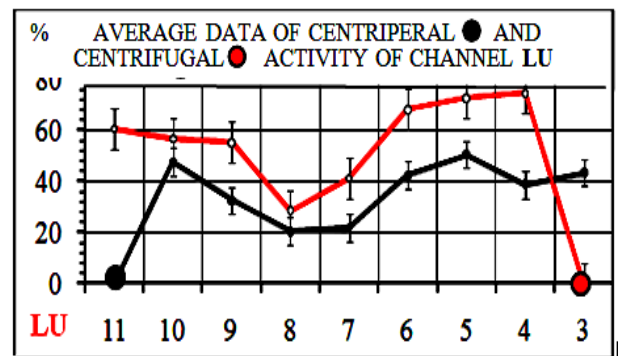


*Рис.1.55* Середні дані спрямованої електропровідності каналу LU

Кроме того 297 наблюдений свидетельствуют о следующем: **а)** акупунктурные зоны канала LU проводят сигналы разными по амплитуде, не трансформируя их форму и частотные характеристики; **б)** выход донорного электрода из акупунктурной зоны ведет к уменьшению величины начальной амплитуды ТС на 90,2-98,5%...

Феномен направленного транспорта энергоносителей реален и при использовании электродной пары "донор - акцептор электронов" (ДЭ-АЭ). При этом максимальная направленность биоэлектрической активности

experimental data biophysically support the canonical statement about centrifugal energy direction of the acupunctural channel LU (Lungs). Depending on artificial direction of energy bearers (centripetal or centrifugal) activity of external cycle at concurrence of traditional and artificially created direction significantly grows. The discovered phenomenon testifies to the biophysical reality of valvular mechanism, in other words about the reality of centrifugal direction of charge bearers in the mentioned system.



*Fig.1.55* Average data of directed electro-conductivity of the channel LU

In addition, 297 observations testify: **a)** acupunctural zones of the channel LU conduct signals that are different by amplitude, without transformation of their form and frequency characteristics; **b)** withdrawal of donor electrode from acupunctural zone leads to the decrease of magnitude of the initial amplitude of TS to 90,2-98,5%.

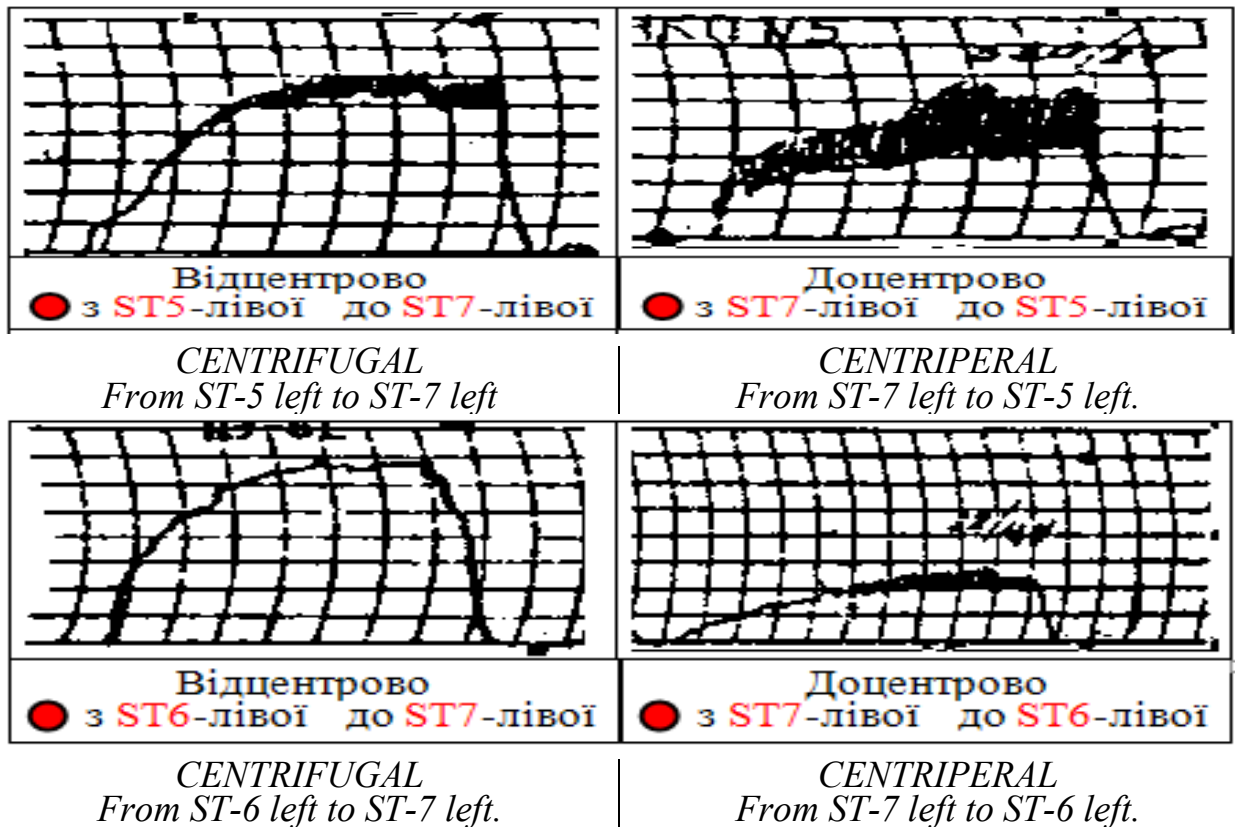
Phenomenon of directed transport of charge bearers is real also with usage of electrode pair "donor - acceptor of electrons" (DE - AE). At the same time, maximal direction of bioelectric activity was when the position of electrode do-

была при позиции электрода донора электронов (ДЕ) на LU-3, а акцептора электронов (АЕ) - по очереди от LU-4 до LU-11 (то есть при совпадении традиционного и искусственно созданного направления).

Аналогичные данные получены и при исследовании направленной активности центробежного канала ST (Желудок). Электропроводимость между зонами ST5-ST7 и ST6-ST7 также свидетельствует о реальности канонической центробежной направленности (рис.1.56).

nor of electrons (DE) to LU-3, and acceptor of electrons (AE) – in turn from LU-4 to LU-11 (i. e. at concurrence of traditional and artificially created direction).

Analogical data received from researches of directed activity of centrifugal channel ST (Stomach). Electroconductivity between the zones ST5 - ST7 and ST6- ST7 also testify to the reality of canonical centrifugal direction (fig.1.56).



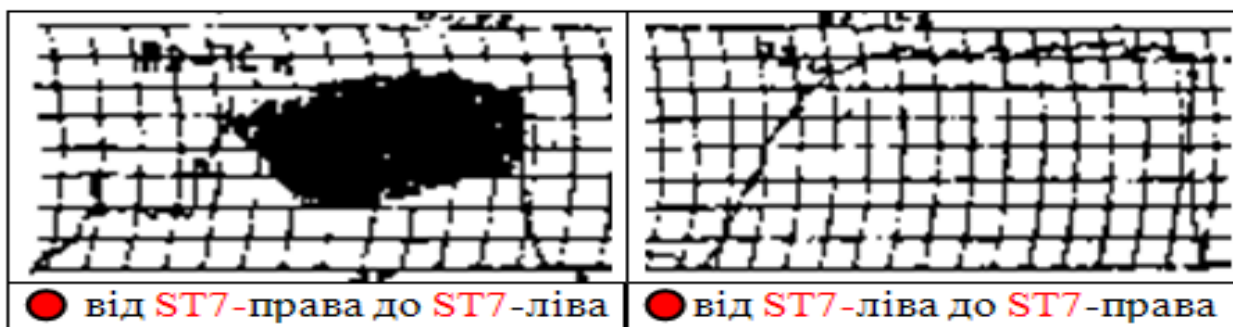
**Рис.1.56** Вентильный эффект направленной проводимости канала ST

**Fig.1.56** Valvular effect of directed conductivity of the channel ST

Выявлена при этом направленная электропроводимость между симметричными (правой и левой) одноканальными зонами в дальнейшем оказалась проявлением неизвестного феномена - асинхронной активности симметричных зон (рис.1.57).

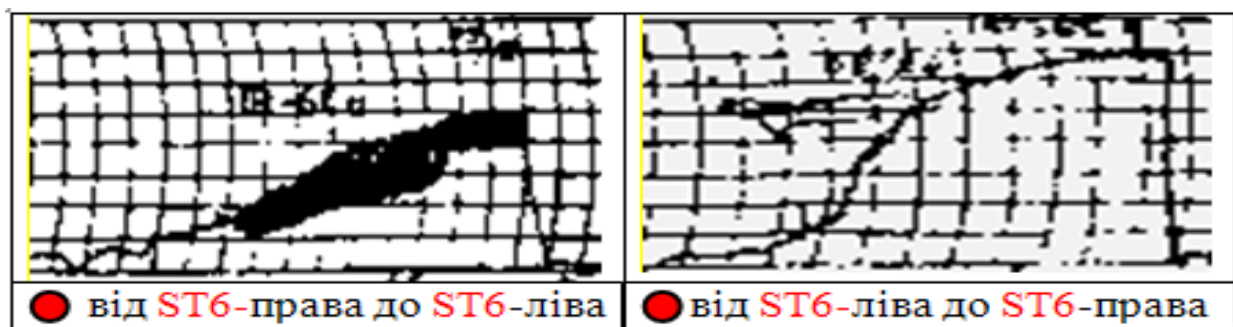
The discovered, at the same time, directed electro-conductivity between symmetric (right and left) sigle-channel zones turned out to be the manifestation of unknown phenomenon – asynchronous activity of symmetric zones (fig.1.57).





*From ST-7 right to ST-7 left*

*From ST-7 left to ST-7 right.*



*From ST-6 right to ST-6 left.*

*From ST-6 left to ST-6 right.*

*Рис.1.57* *Феномен асинхронной активности симметричных зон канала ST*

*Fig.1.57* *Phenomenon of asynchronous activity of symmetric zones of the channel ST*

**Выводы.** Традиционная концепция ЦЗИН-ЛЮ перспективна для исследования...

**Conclusion.** Traditional conception JING LUO is prospective for...

Продолжение исследований было прервано по независимым от нас причинам. Поэтому считаем необходимым обратить внимание на перспективность дальнейшего изучения канальных вентильных феноменов (нашу поисковую работу следует рассматривать как методологический аспект проблемы). Так что поле для исследований открыто...

Researches were withdrawn because of the reasons, that did not depend on us. That is why we believe that it is necessary to take attention of the prospectiveness of further study of channel valvular phenomena (our researches should be observed as the methodological aspect of the issue). So, the field for researches has been opened...

**ЗАКЛЮЧИТЕЛЬНОЕ СЛОВО**

**FINAL WORD**

**Шок!**

**Shock!**

На глазах рассыпается фундаментальная основа Восточной терапевтической философии - китайской Чжень-цзю терапии. Ни одно из её гипотетических положений не получило биофизической поддержки.

In front of our eyes fundamental theoretical and practical Eastern therapeutic philosophy – Chinese Zhenjiu therapy has fallen apart. None of its hypothetical positions has got biophysical support ...

При этом шокирующая информа-

At the same time, the astonishing in-

ция только указывает на неизвестные современным теоретикам Законы функционально-информационной зависимости Живого и подтверждает непрерывность процесса поиска Истины.

...А заинтересованных в получении дальнейшей информации по проблеме реабилитации вегетативных расстройств у детей приглашаем на курсы дистанционного обучения "Школа профессора В.Г.Макаца" (Украина-Винница).

formation only points to the laws, unknown to modern theorists, of functional-informational dependency of Alive and confirms the continuity of the search of Verity.

...Those who are interested in obtaining further information on the problem of rehabilitation of child vegetative disorders, are welcome to courses of distance learning "School of professor V. G. Makats" (Vinnytsia, Ukraine).